



**COMUNE DI ROCCHETTA SANT'ANTONIO**

*PROVINCIA DI FOGGIA*



**COMUNE DI CANDELA**

*PROVINCIA DI FOGGIA*

**Progetto per la costruzione di un impianto di produzione di energia elettrica da fonte eolica di 19 aerogeneratori con potenza di 115 MW e opere di connessione alla RTN, sito nel comune di Rocchetta Sant'Antonio e Candela (FG)**

## PROGETTO DEFINITIVO

## RELAZIONE IDRAULICA

COD. ID.				
Livello prog.	Tipo documentazione	N. elaborato	Data	Scala
PD	Definitiva	4.2.5	03/2021	-

Nome file	
-----------	--

### REVISIONI

REV.	DATA	DESCRIZIONE	ESEGUITO	VERIFICATO	APPROVATO
00	SETTEMBRE 2020	PRIMA EMISSIONE	IMP	FS	FS
01	MARZO 2021	PRIMA EMISSIONE	IMP	FS	FS

COMMITTENTE:




**SINERGIA EWR1 SRL**

Centro direzionale snc, Is. G1  
80143 Napoli (NA), Italia  
P.IVA 09486531214

PROGETTAZIONE:

**ING. FULVIO SCIA**

Centro Direzionale snc, Is. G1  
80143 Napoli (NA), Italia  
email: ing.scia@gmail.com  
tel: +39 3389055174


	Progetto per la costruzione di un impianto di produzione di energia elettrica da fonte eolica di 19 aerogeneratori con potenza di 115 MW e opere di connessione alla RTN, sito nel comune di Rocchetta Sant'Antonio e Candela (FG)	Settembre 2020
--	--	----------------

## RELAZIONE IDRAULICA

### INDICE

---

1	PREMESSA.....	2
2	INQUADRAMENTO NORMATIVO.....	2
3	DESCRIZIONE DEL PROGETTO.....	4
4	INQUADRAMENTO IDROGEOMORFOLOGICO DELL'AREA DI INTERVENTO.....	8
5	STUDIO IDROLOGICO.....	11
5.1	<i>Metodologia utilizzata</i> .....	11
5.2	<i>Analisi morfologica</i> .....	12
5.3	<i>Analisi pluviometrica</i> .....	13
5.4	<i>Stima delle portate al colmo di piena</i> .....	16
6	STUDIO IDRAULICO.....	18
6.1.	Aree di alluvionamento.....	23
7	INTERSEZIONI CAVIDOTTO – RETICOLI IDROGRAFICI.....	29
8	VERIFICA INTERFERENZE DEL RETICOLO IDROGRAFICO CON LE NUOVE PISTE A SERVIZIO DEGLI AEROGENERATORI.....	30
9	VERIFICA CONDIZIONI DI SICUREZZA IDRAULICA PER LA NUOVA SOTTOSTAZIONE ELETTRICA UTENTE.....	34
10	CONCLUSIONI.....	39

	Progetto per la costruzione di un impianto di produzione di energia elettrica da fonte eolica di 19 aerogeneratori con potenza di 115 MW e opere di connessione alla RTN, sito nel comune di Rocchetta Sant'Antonio e Candela (FG)	Settembre 2020
--	--	----------------

## 1 PREMESSA

La presente Relazione Idrologica è parte integrante della proposta progettuale avanzata dalla società SINERGIA EWR1 S.r.l., con sede legale al Centro direzionale snc, Is. G1 a Napoli (NA), promotrice del progetto definitivo per la realizzazione di un impianto di produzione di energia elettrica da fonte eolica con potenza complessiva di 115 MW e delle relative opere di connessione alla RTN, sito nel territorio comunale di Rocchetta Sant'Antonio e di Candela, in provincia di Foggia (FG).

Il futuro impianto sarà costituito da un numero complessivo di 19 aerogeneratori del tipo Siemens Gamesa SG 6.0-170 o similari, per una potenza nominale complessiva dell'impianto eolico di 115 MW, e dalle opere di connessione alla rete di trasmissione elettrica nazionale (RTN) che avverrà su futuro ampliamento della sottostazione elettrica 380/150 kV, ubicata nel comune di Deliceto.

La presente relazione idrologica si propone di analizzare il deflusso delle acque meteoriche, superficiali e sotterranee, compatibilmente con le NTA del PAI dell'Autorità di Bacino della Regione Puglia, nonché nel rispetto del Regolamento Regionale 26/2013 che disciplina le acque meteoriche di dilavamento e di prima pioggia.

## 2 INQUADRAMENTO NORMATIVO

La Legge n. 183/1989 sulla difesa del suolo ha definito il bacino idrografico inteso come "il territorio dal quale le acque pluviali o di fusione delle nevi e dei ghiacciai, defluendo in superficie, si raccolgono in un determinato corso d'acqua direttamente o a mezzo di affluenti; nonché il territorio che può essere allagato dalle acque del medesimo corso d'acqua, ivi compresi i suoi rami terminali con le foci in mare ed il litorale marittimo prospiciente".

Inoltre, tale legge ha stabilito che il bacino idrografico debba essere l'ambito fisico di pianificazione per superare le frammentazioni e le separazioni prodotte in seguito all'adozione di aree di riferimento aventi confini meramente amministrativi.


Strumento di gestione del bacino idrografico è il Piano di Bacino, piano territoriale e di settore, che si configura come strumento di carattere "conoscitivo, normativo e tecnico-operativo mediante il quale sono pianificate e programmate le azioni e le norme d'uso finalizzate alla conservazione, difesa e valorizzazione del suolo e alla corretta utilizzazione delle acque, sulla base delle caratteristiche fisiche e ambientali del territorio interessato".

L'Autorità di Bacino della Puglia, con Delibera del Comitato Istituzionale n. 39 del 30.11.2005, ha approvato il Piano di Assetto Idrogeologico (PAI), Piano Stralcio del Piano di bacino, ai sensi dell'art. 17 della Legge 18 maggio 1989, n° 183.

Il PAI è finalizzato al miglioramento delle condizioni di regime idraulico e della stabilità dei versanti ed a consentire uno sviluppo sostenibile del territorio nel rispetto degli assetti naturali, della loro tendenza evolutiva e delle potenzialità d'uso, e rappresenta la disciplina che più particolarmente si occupa delle tematiche proprie della difesa del suolo.

Il PAI costituisce il Piano Stralcio del Piano di Bacino, ai sensi dell'articolo 17 comma 6 ter della Legge 18 maggio 1989, n° 183; ha valore di piano territoriale di settore ed è lo strumento conoscitivo, normativo e tecnico-operativo mediante il quale sono pianificate e programmate le azioni e le norme d'uso finalizzate alla conservazione, alla difesa e alla valorizzazione del suolo ricadente nel territorio di competenza dell'Autorità di Bacino della Puglia.

Le finalità del PAI (art. 1) sono realizzate, dall'Autorità di Bacino della Puglia e dalle altre Amministrazioni competenti, mediante:

	Progetto per la costruzione di un impianto di produzione di energia elettrica da fonte eolica di 19 aerogeneratori con potenza di 115 MW e opere di connessione alla RTN, sito nel comune di Rocchetta Sant'Antonio e Candela (FG)	Settembre 2020
--	--	----------------

- la definizione del quadro della pericolosità idrogeologica in relazione ai fenomeni di esondazione e di dissesto dei versanti;
- la definizione degli interventi per la disciplina, il controllo, la salvaguardia, la regolarizzazione dei corsi d'acqua e la sistemazione dei versanti e delle aree instabili a protezione degli abitati e delle infrastrutture, indirizzando l'uso di modalità di intervento che privilegino la valorizzazione ed il recupero delle caratteristiche naturali del terreno;
- l'individuazione, la salvaguardia e la valorizzazione delle aree di pertinenza fluviale;
- la manutenzione, il completamento e l'integrazione dei sistemi di difesa esistenti;
- la definizione degli interventi per la difesa e la regolazione dei corsi d'acqua;
- la definizione di nuovi sistemi di difesa, ad integrazione di quelli esistenti, con funzioni di controllo della evoluzione dei fenomeni di dissesto e di esondazione, in relazione al livello di riduzione del rischio da conseguire.

Il PAI (art. 4), in relazione alle condizioni idrauliche, alla tutela dell'ambiente e alla prevenzione di presumibili effetti dannosi prodotti da interventi antropici, disciplina le aree di cui agli artt. 6, 7, 8, 9 e 10. In particolare, le aree di cui sopra sono definite:

- *Alveo fluviale in modellamento attivo ed aree golenali (art. 6);*
- *Aree ad alta pericolosità idraulica (A.P.) (art. 7);*
- *Aree a media pericolosità idraulica (M.P.) (art. 8);*
- *Aree a bassa pericolosità idraulica (B.P.) (art. 9);*
- *Fasce di pertinenza fluviale (art. 10).*


Relativamente alle aree a diversa pericolosità idraulica (A.P., M.P., B.P.), queste risultano arealmente individuate nelle "Carte delle aree soggette a rischio idrogeologico" allegate al PAI, mentre, relativamente alle aree definite "*Alveo fluviale in modellamento attivo ed aree golenali (art. 6)*" e "*Fasce di pertinenza fluviale (art. 10)*", la loro delimitazione segue i seguenti criteri:

- (art. 6 comma 8) quando il reticolo idrografico e l'alveo in modellamento attivo e le aree golenali non sono arealmente individuate nella cartografia in allegato al PAI e le condizioni morfologiche non ne consentano la loro individuazione, le norme si applicano alla porzione di terreno a distanza planimetrica, sia in destra che in sinistra dall'asse del corso d'acqua, non inferiore a 75 m;
- (art. 10 comma 3) quando la fascia di pertinenza fluviale non è arealmente individuata nelle cartografie in allegato al PAI, le norme si applicano alla porzione di terreno, sia in destra che in sinistra contermini all'area golenale, come individuata dall'art. 6 comma 8, di ampiezza comunque non inferiore a 75 m.

Laddove esistono perimetrazioni delle aree AP, MP e BP definite in base a specifici studi idrologici ed idraulici, trovano applicazione le norme contenute negli artt. 7, 8 e 9.

In relazione alle finalità e gli obiettivi generali del PAI, ai fini di assicurare la compatibilità con essi degli interventi sul territorio, le Norme Tecniche di Attuazione prevedono che (art.4):

- all'interno delle aree di cui agli artt. 6, 7, 8, 9 e 10, tutte le nuove attività ed i nuovi interventi devono essere tali da:
  - a) migliorare o comunque non peggiorare le condizioni di funzionalità idraulica;
  - b) non costituire in nessun caso un fattore di aumento della pericolosità idraulica né localmente, né nei territori a valle o a monte, producendo significativi ostacoli al normale libero deflusso delle acque ovvero causando una riduzione significativa della capacità di invaso delle aree interessate;
  - c) non costituire un elemento pregiudizievole all'attenuazione o all'eliminazione delle specifiche cause di rischio esistenti;

	Progetto per la costruzione di un impianto di produzione di energia elettrica da fonte eolica di 19 aerogeneratori con potenza di 115 MW e opere di connessione alla RTN, sito nel comune di Rocchetta Sant'Antonio e Candela (FG)	Settembre 2020
--	--	----------------

- d) non pregiudicare le sistemazioni idrauliche definitive né la realizzazione degli interventi previsti dalla pianificazione di bacino o dagli strumenti di programmazione provvisoria e urgente;
- e) garantire condizioni adeguate di sicurezza durante la permanenza di cantieri mobili, in modo che i lavori si svolgano senza creare, neppure temporaneamente, un ostacolo significativo al regolare deflusso delle acque;
- f) limitare l'impermeabilizzazione superficiale del suolo impiegando tipologie costruttive e materiali tali da controllare la ritenzione temporanea delle acque anche attraverso adeguate reti di regimazione e di drenaggio;
- g) rispondere a criteri di basso impatto ambientale facendo ricorso, laddove possibile, all'utilizzo di tecniche di ingegneria naturalistica.

Gli obiettivi del PAI sono definiti dall'art. 17 e consistono nel perseguire il raggiungimento delle condizioni di sicurezza idraulica come definite dall'art. 36.

L'art. 36 definisce per sicurezza idraulica la condizione associata alla pericolosità idraulica per fenomeni di insufficienza del reticolo di drenaggio. *Agli effetti del PAI si intendono in sicurezza idraulica le aree non inondate per eventi con tempo di ritorno fino a 200 anni.*

### 3 DESCRIZIONE DEL PROGETTO

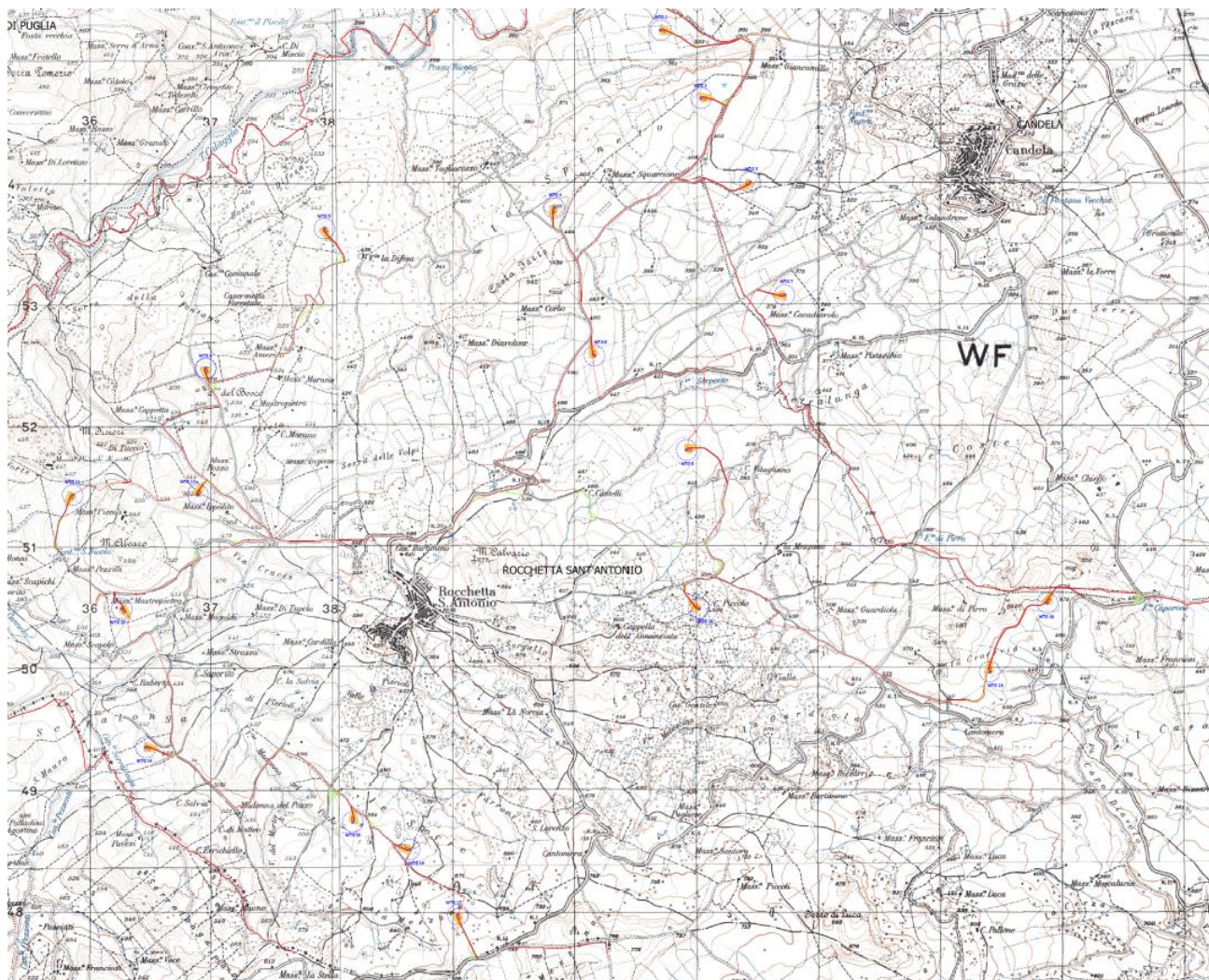
Il progetto per la realizzazione del parco eolico in oggetto prevede l'installazione di 19 aerogeneratori del tipo Siemens Gamesa SG 6.0-170, di cui 14 aerogeneratori della potenza nominale pari a 6,0 MW (WTG1, WTG2, WTG3, WTG4, WTG5, WTG6, WTG7, WTG8, WTG9, WTG10, WTG11, WTG12, WTG13, WTG14) e 5 aerogeneratori (WTG15, WTG16, WTG17, WTG18, WTG19) di potenza pari a 6,2 MW per una potenza nominale complessiva pari a 115 MW, sito in località "San Martino – Le Serre" nel territorio comunale di Rocchetta Sant'Antonio e Candela, in provincia di Foggia (FG).

Il modello di turbina che si intende adottare è del tipo SG 6.0 – 170 o similari. Tale aerogeneratore possiede una potenza nominale nel range di 6.0 - 6.2 MW ed è allo stato attuale una macchina tra le più avanzate tecnologicamente; sarà inoltre fornito delle necessarie certificazioni rilasciate da organismi internazionali.

Le dimensioni di riferimento della turbina proposta sono le seguenti: D (diametro rotore) fino a 170 m,  $H_{\text{mozzo}}$  (altezza torre) fino a 115 m,  $H_{\text{max}}$  (altezza della torre più raggio pala) fino a 200 m.

Lo sfruttamento dell'energia del vento è una fonte naturalmente priva di emissioni: la conversione in elettricità avviene infatti senza alcun rilascio di sostanze nell'atmosfera. La tecnologia utilizzata consiste nel trasformare l'energia del vento in energia meccanica attraverso degli impianti eolici, che riproducono il funzionamento dei vecchi mulini a vento. La rotazione prodotta viene utilizzata per azionare gli impianti aerogeneratori. Rispetto alle configurazioni delle macchine, anche se sono state sperimentate varie soluzioni nelle passate decadi, attualmente la maggioranza degli aerogeneratori sul mercato sono del tipo tripala ad asse orizzontale, sopravvento rispetto alla torre. La potenza è trasmessa al generatore elettrico attraverso un moltiplicatore di giri o direttamente utilizzando un generatore elettrico ad elevato numero di poli.

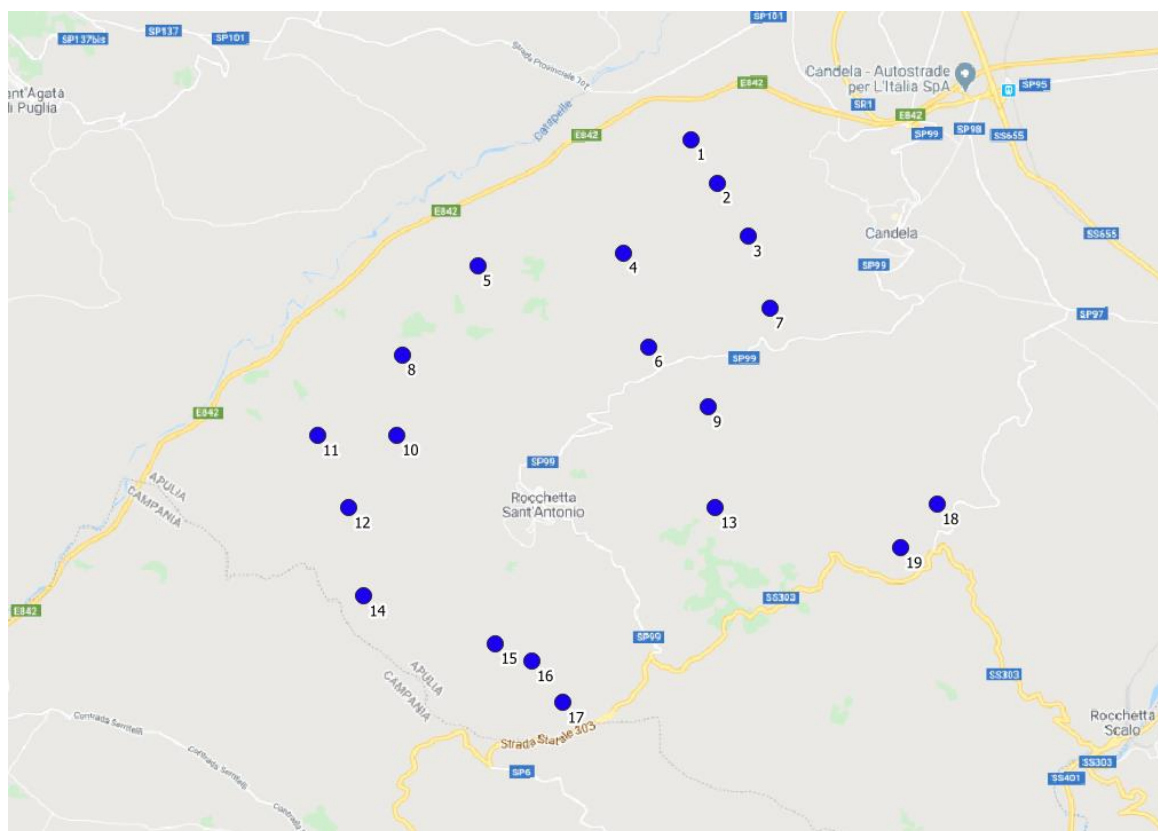
Gli aerogeneratori si trovano in media a più di 2 km dal centro abitato di Rocchetta Sant'Antonio e a poco più di 1,5 km dal centro abitato di Candela, compatibilmente con l'art. 5.3. "Misure di mitigazione" dell'Allegato IV del DM 10 settembre 2010 "Linee guida per l'autorizzazione degli impianti alimentati da fonti rinnovabili", secondo il quale la minima distanza di ciascun aerogeneratore dai centri abitati individuati dagli strumenti urbanistici vigenti non deve essere inferiore a 6 volte l'altezza massima dell'aerogeneratore, nel caso in esame pari a 1,2 km (6 \*200m).



*Inquadramento del parco eolico su IGM*

Il sito è facilmente raggiungibile dalla Autostrada A16 Napoli – Canosa, uscendo al casello autostradale di Candela e proseguendo per la SP101 si può raggiungere un primo accesso del parco in corrispondenza della WTG1 in località “San Martino”, mentre proseguendo per la SP98 si può arrivare ad un secondo accesso in corrispondenza della WTG18.


Uscendo al casello di Lacedonia, invece, e proseguendo verso la SS303 fino al bivio per il Santuario della Madonna del Pozzo si può raggiungere un terzo accesso in corrispondenza degli aerogeneratori WTG14 e WTG15 in località “Le Serre”. Tutte le strade di collegamento all’area di impianto sono idonee al transito dei mezzi speciali di trasporto.



Carta della viabilità – Google Maps

Dal punto di vista catastale, l'asse dell'aerogeneratore ricade sulle seguenti particelle del Nuovo Catasto Terreni:

WTG	Foglio	Particella	Comune
WTG1	1	114	Rocchetta
WTG2	1	53	Rocchetta
WTG3	24	25	Candela
WTG4	1	235	Rocchetta
WTG5	2	97	Rocchetta
WTG6	8	68	Rocchetta
WTG7	28	11	Candela
WTG8	4	19	Rocchetta
WTG9	10	28	Rocchetta
WTG10	14	107	Rocchetta
WTG11	14	94	Rocchetta
WTG12	16	1	Rocchetta
WTG13	26	22-423	Rocchetta
WTG14	16	84 - 127	Rocchetta
WTG15	28	29	Rocchetta
WTG16	29	830	Rocchetta
WTG17	29	905	Rocchetta
WTG18	31	105 - 122	Rocchetta
WTG19	31	188	Rocchetta

	Progetto per la costruzione di un impianto di produzione di energia elettrica da fonte eolica di 19 aerogeneratori con potenza di 115 MW e opere di connessione alla RTN, sito nel comune di Rocchetta Sant'Antonio e Candela (FG)	Settembre 2020
--	--	----------------

Dal punto di vista cartografico l'asse degli aerogeneratori è collocato alle seguenti coordinate in WGS 84-UTM 33N:

WTG	E	N
WTG1	540621,00	4555066,00
WTG2	540953,00	4554515,00
WTG3	541356,00	4553813,00
WTG4	539748,00	4553603,00
WTG5	537857,00	4553438,00
WTG6	540077,00	4552387,00
WTG7	541642,00	4552883,00
WTG8	536882,00	4552278,00
WTG9	540837,00	4551608,00
WTG10	536817,00	4551242,00
WTG11	535784,00	4551241,00
WTG12	536193,00	4550300,00
WTG13	540935,00	4550305,00
WTG14	536386,00	4549165,00
WTG15	538091,00	4548550,00
WTG16	538558,00	4548326,00
WTG17	538955,00	4547789,00
WTG18	543802,00	4550349,00
WTG19	543331,00	4549780,00

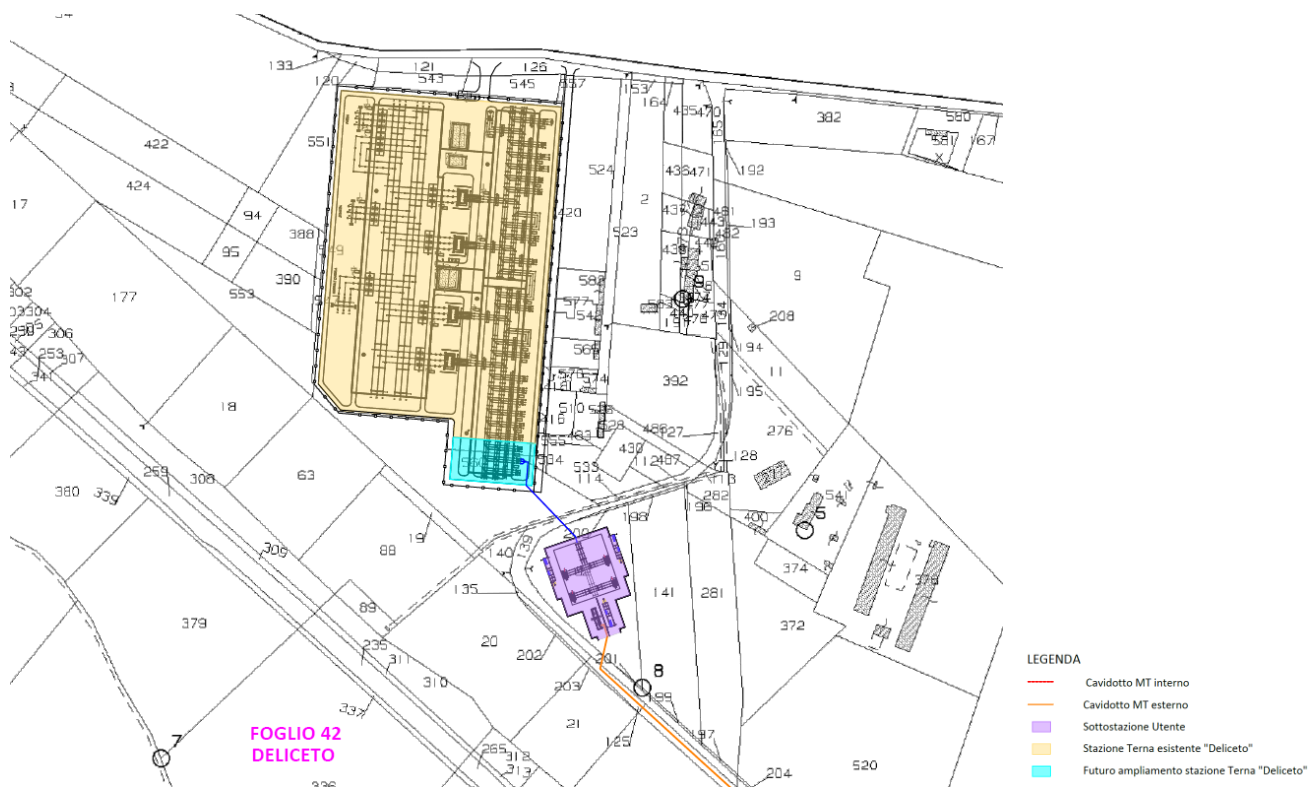
Per quanto concerne le opere di connessione alla RTN, nel comune di Deliceto avverrà la consegna nella SSE elettrica 380/150 kV denominata "Deliceto", ubicata in località "La Marana", a quota di circa 305 m s.l.m.

In conformità alle indicazioni fornite da Terna S.p.A., gestore della RTN, e delle normative di settore, saranno previsti:

- cavi interrati MT 30 kV di interconnessione tra gli aerogeneratori (cavidotto interno al parco);
- cavi interrati MT 30 kV di connessione tra gli aerogeneratori e la Sottostazione di trasformazione Utente (cavidotto esterno al parco);
- sottostazione elettrica utente 30/150 kV (SSU);
- cavo interrato AT 150 kV di connessione tra lo stallo di uscita della SSU e lo stallo dedicato della SSE Terna "Deliceto" 380/150 kV.

Nello specifico, i cavidotti in uscita dal parco eolico confluiranno nella Stazione di trasformazione Utente 30/150 kV di nuova realizzazione, condivisa con altro produttore, ubicata in prossimità della stazione RTN 380/150 kV Terna "Deliceto" nel comune di Deliceto. La stazione di trasformazione utente avrà dimensioni planimetriche di circa 70 m x 98 m, interessando la particella numero 62 del foglio 42 del Nuovo Catasto Terreni del comune di Deliceto.





Planimetria SSE Utente

#### 4 INQUADRAMENTO IDROGEOLOGICO DELL'AREA DI INTERVENTO

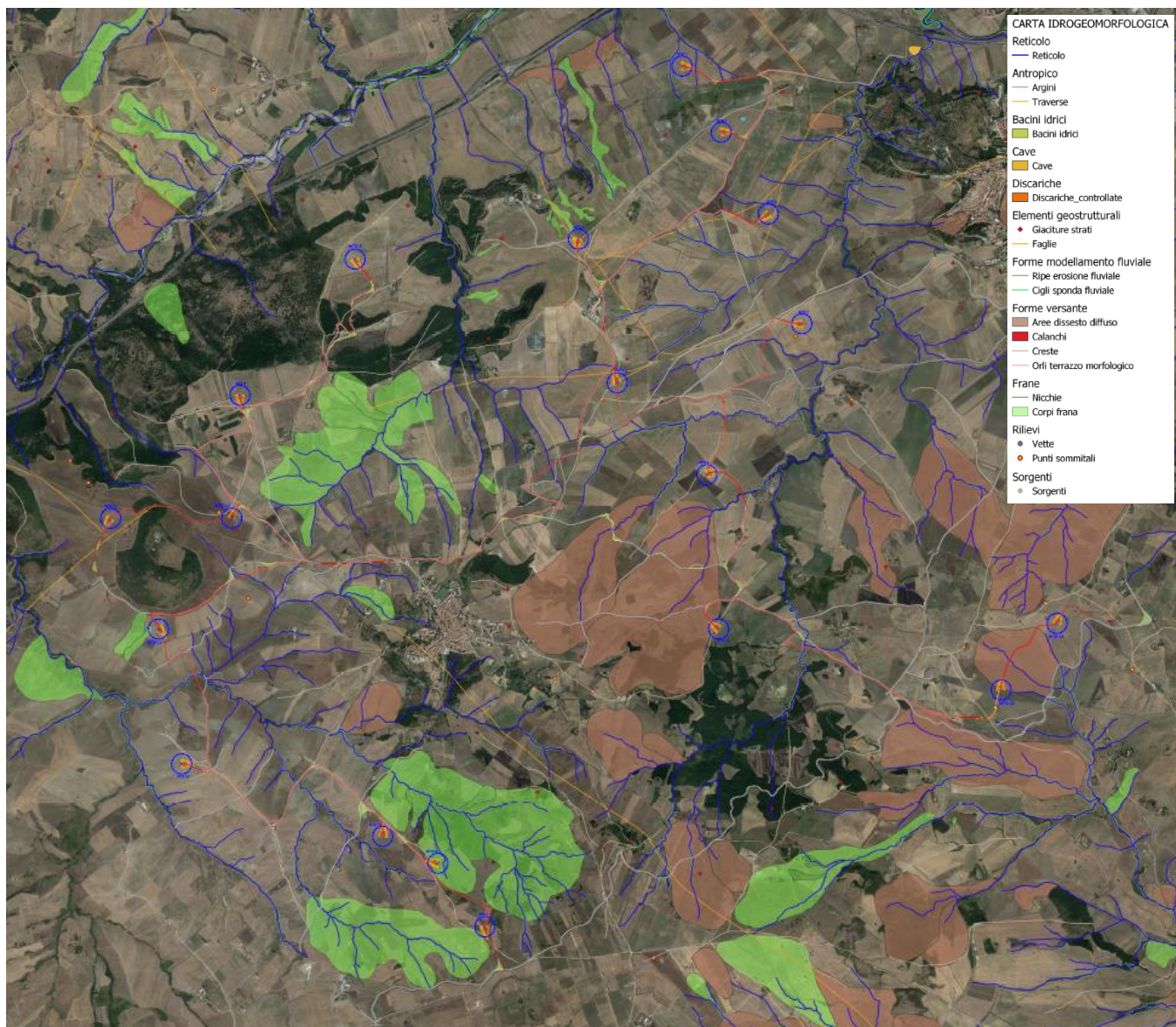
Le aree interessate dagli interventi **sono esterne alle aree a pericolosità idraulica AP, MP e BP**, come si può dedurre dalla cartografia del Piano Stralcio Assetto Idrogeologico (PAI), approvato dall'Autorità di Bacino della Regione Puglia.

Tuttavia, le aree interessate dall'installazione degli aerogeneratori rientrano nelle **aree a pericolosità geomorfologica PG1, PG2**, per le quali si rimanda allo studio di compatibilità geologica e geotecnica, al fine della valutazione della compatibilità dell'intervento ai sensi delle NTA del PAI.



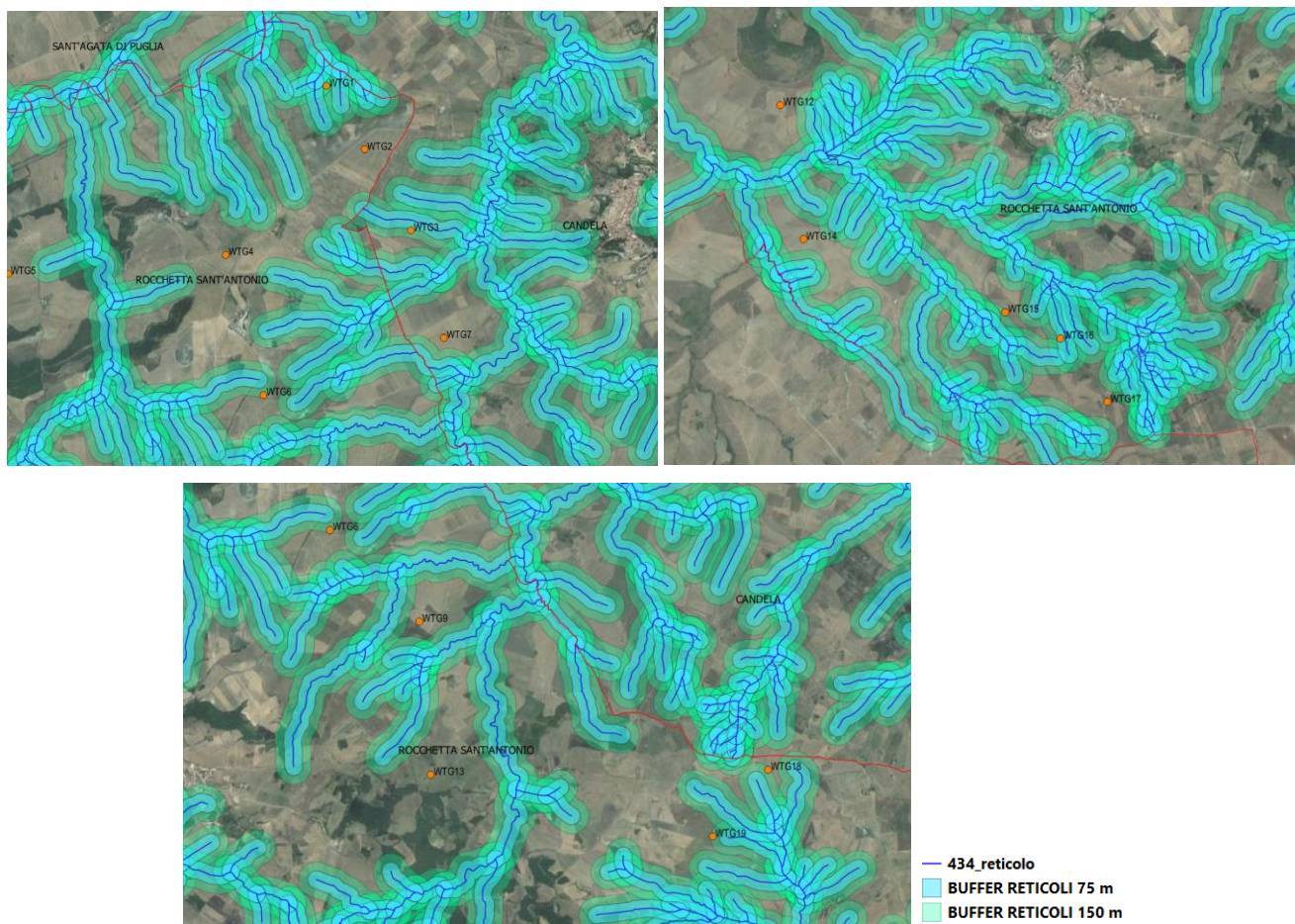
*Inquadramento su PAI*

Relativamente alla Carta Idrogeomorfologica redatta dall'Autorità di Bacino della Puglia, l'elemento più significativo è quello dei *corsi d'acqua*, intendendo con tale terminologia l'insieme dei percorsi lineari dei deflussi, che costituiscono il reticolo idrografico di un territorio. Dallo studio della carta, si evince che le aree di intervento per l'ubicazione degli aerogeneratori sono lambite da alcuni **reticoli idrografici**, come si può evincere dal seguente stralcio planimetrico e dagli elaborati grafici in allegato.



*Inquadramento sulla carta idrogeomorfologica della Regione Puglia*

Alcuni aerogeneratori costituenti il parco eolico, in particolare WTG1, WTG3, WTG6, WTG15, WTG16, WTG18 e WTG19, risultano **esterni alla fascia di rispetto di 75 m in destra e sinistra idraulica dall'asse fluviale, ma interni alla fascia di pertinenza fluviale di 150 m in destra e sinistra idraulica dall'asse fluviale**, come definita all'art. 10 delle NTA del PAI. Per questo motivo la necessità del seguente studio di compatibilità idrologia e idraulica, comprensivo di analisi idrologica e modellazione idraulica per l'individuare l'impronta allagabile per un evento meteorico con tempo di ritorno di 200 anni, al fine di valutare le condizioni di sicurezza per le opere da farsi.



*Reticolo idrografico con relativi buffer di rispetto*

## 5 STUDIO IDROLOGICO

### 5.1 Metodologia utilizzata

Nel rispetto delle N.T.A. del P.A.I. dell'Autorità di Bacino della Puglia, che attribuiscono ad eventi con tempo di ritorno di 200 anni la verifica per il requisito della "sicurezza idraulica", lo studio idrologico a livello di bacino è finalizzato alla determinazione della portata di piena e lo studio idraulico a valutare l'effetto al suolo della propagazione di tale piena.

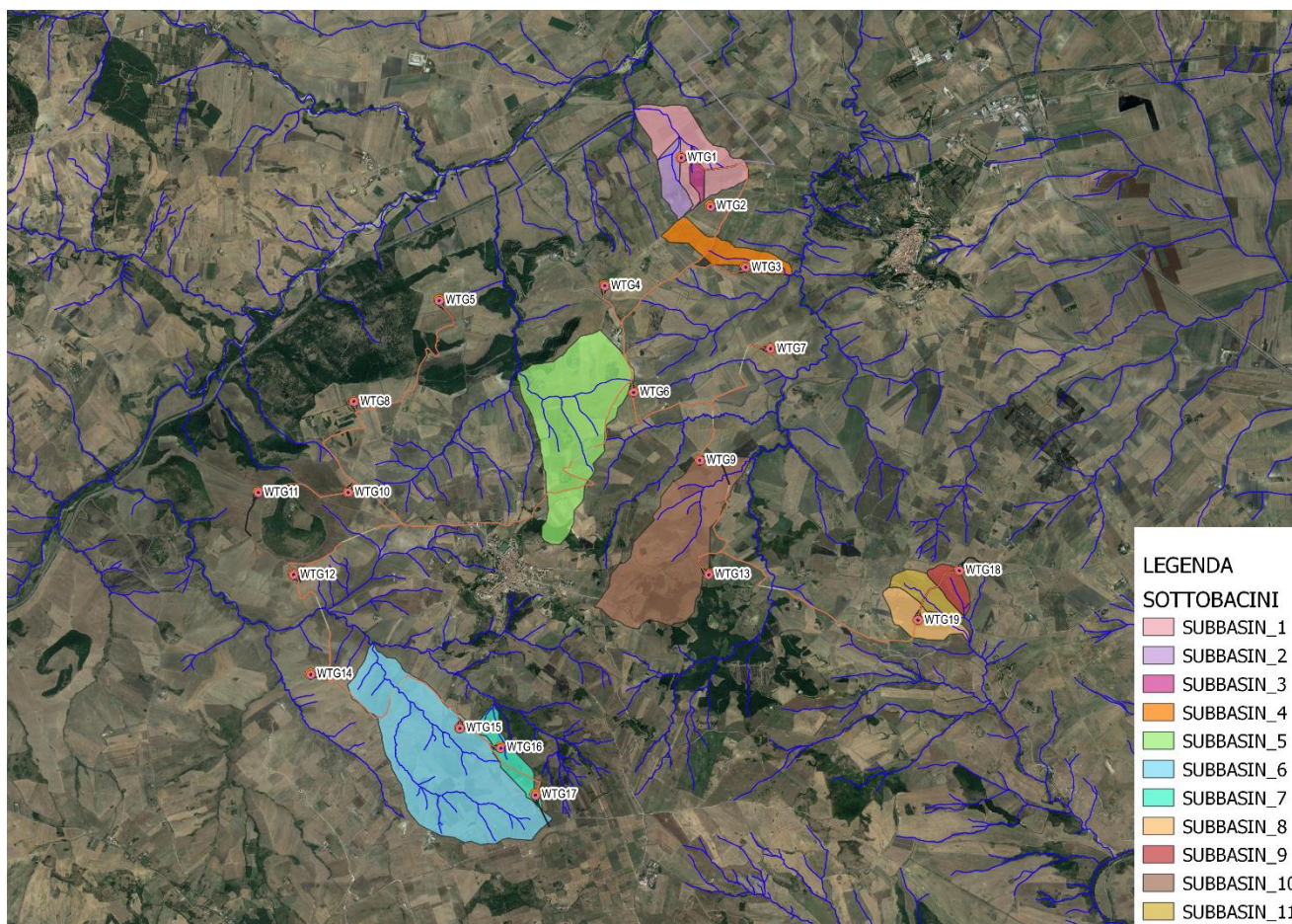
Lo studio idrologico è condotto secondo le seguenti 5 fasi:

1. reperimento della cartografia di base (I.G.M. in scala 1:25.000, rilievi aerofotogrammetrici in scala 1:5000 ed ortofoto) e del modello digitale del terreno (DTM);
2. analisi morfologica per l'individuazione dei bacini idrografici di interesse;
3. definizione delle caratteristiche morfometriche dei bacini di studio (superficie, quota media, lunghezza dell'asta principale e pendenza media del bacino);
4. analisi della piovosità sulla base delle curve di possibilità pluviometrica relative alle zone omogenee in cui ricadono i bacini, definite negli studi del "VaPi - Puglia" attraverso l'analisi di regionalizzazione dei dati osservati delle precipitazioni intense, ed indicata come metodologia di riferimento nel PAI;
5. determinazione della portata di piena con tempo di ritorno pari a 30, 200 anni e 500 anni.

## 5.2 Analisi morfologica

Dopo la consultazione del WebGIS dell'Autorità di Bacino per una definizione grossolana del bacino di interesse, si è proceduto all'acquisizione del modello digitale del terreno DTM 8x8 m, disponibile sul SIT della Regione Puglia per l'elaborazione dei dati.


I dati a disposizione sono stati elaborati tramite il software GIS. La delimitazione dei bacini tributari e l'estrazione del reticolo, per il successivo calcolo della portata idrologica al colmo di piena, è stata eseguita sulla base del modello digitale del terreno DTM 8x8, utilizzando il tool Hydrology del software ESRI- ArcGIS 10.2 con le funzioni di Fill, Flow direction e Flow accumulation.



Sottobacini idrografici

Determinati i bacini tributari, si è effettuato lo studio morfologico dei bacini idrografici al fine di determinare le caratteristiche morfometriche principali, necessarie all'elaborazione idrologica:

Bacino	Area (Kmq)	L. asta principale (Km)	Hmax (m.s.l.m)	Hmin (m.s.l.m)	Hmean (m.s.l.m)	Dislivello (m)	Pendenza media bacino (%)	Pendenza asta principale (%)
1	0.63	1.5	444.7	252.8	325.6	191.9	16.7	12.8

	Progetto per la costruzione di un impianto di produzione di energia elettrica da fonte eolica di 19 aerogeneratori con potenza di 115 MW e opere di connessione alla RTN, sito nel comune di Rocchetta Sant'Antonio e Candela (FG)		Settembre 2020

2	0.2	0.95	452	286.5	367.1	165.5	19.5	17.4
3	0.1	0.64	440	296.4	358	143.6	23.6	22.4
4	0.34	1.5	471.7	308.7	387.6	163	11.4	10.9
5	1.68	1.4	678.4	366.6	475.7	311.8	18.3	22.3
6	2.38	2.8	733.15	422.2	568.5	310.95	17.8	11.1
7	0.24	1.3	718.9	513.2	620.8	205.7	17.8	15.8
8	0.30	1.1	584	411	500	173	15.8	15.7
9	0.15	0.66	526.5	436.4	484	90.1	14.5	13.7
10	1.63	2.5	685	378.1	532.1	306.9	17.2	12.3
11	0.21	0.85	585	436	507	149	14.7	17.5

### 5.3 Analisi pluviometrica

La determinazione della curva di possibilità pluviometrica dei bacini idrografici in esame è stata determinata attraverso la metodologia propria del progetto VaPi Puglia, metodologia di riferimento delle N.T.A. del P.A.I. dell'Autorità di Bacino della Puglia. Il metodo VaPi effettua la regionalizzazione delle piogge su sei zone omogenee, in cui è stata suddivisa la Puglia, con formulazioni diverse per ognuna di esse.



$$\begin{aligned} \text{Zona 1: } & x(t,z) = 26.8 t^{[(0.720+0.00503 z)/3.178]} \\ \text{Zona 2: } & x(t) = 22.23 t^{0.247} \\ \text{Zona 3: } & x(t,z) = 25.325 t^{[(0.0696+0.00531 z)/3.178]} \\ \text{Zona 4: } & x(t) = 24.70 t^{0.256} \\ \text{Zona 5: } & x(t,z) = 28.2 t^{[(0.628+0.0002 z)/3.178]} \\ \text{Zona 6: } & x(t,z) = 33.7 t^{[(0.488+0.0022 z)/3.178]} \end{aligned}$$

Nel VAPI, l'analisi idrologica è basata sulla legge di distribuzione statistica TCEV (two components extreme value); la particolarità di questo modello è quella di riuscire a considerare gli estremi idrologici, che sono di fatto gli eventi che inducono un livello di pericolosità più elevato, riconducendosi al prodotto di due funzioni di distribuzione di probabilità di tipo Gumbel, una che riproduce l'andamento degli eventi ordinari e l'altra che riproduce l'andamento degli eventi eccezionali.

L'identificazione dei parametri della distribuzione TCEV consente di costruire un modello regionale con struttura gerarchica, basata su tre livelli di regionalizzazione, con due zone omogenee al primo e secondo livello, ovvero Puglia Settentrionale e Centro – Meridionale, e sei zone omogenee al terzo livello, dove si indaga la variabilità spaziale del valor medio dell'altezza di pioggia.

I bacini in esame rientrano nella *zona omogenea 4 della Puglia Settentrionale* pertanto l'equazione da applicare è la seguente:

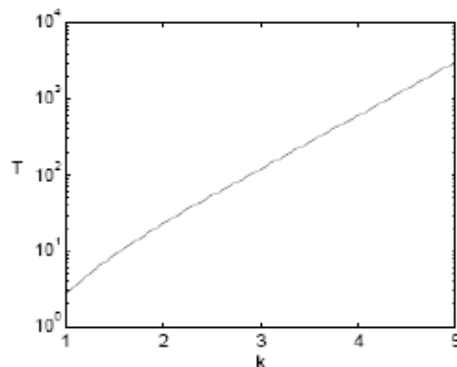
$$\text{ZONA 4 } x(t) = 24.70 * t^{0.256}$$

dove  $t$  delle curve pluviometriche si assume pari al tempo di ritardo; per i bacini pugliesi si considera la seguente formula empirica, in funzione dell'area del bacino in Km<sup>2</sup>:  $t = 0,344 A^{0,5}$ .



*Zone omogenee del VaPi Puglia*


L'altezza di pioggia totale è pari a  $X(t, T) = x(t, z) * K_T$ , con  $K_T$  fattore di crescita che dipende dal tempo di ritorno. È possibile rappresentare graficamente la funzione  $K_T = K_T(T)$  al variare del tempo di ritorno  $T$ . Per quanto concerne il fattore di crescita esso è espresso per la Puglia Settentrionale con tale espressione:  $K_T = 0,5648 + 0,415 \ln T$ .



*Fattore di crescita al variare del tempo di ritorno*

Di seguito si riporta il calcolo del tempo di ritardo, preliminare al calcolo dell'altezza di pioggia critica:

Bacino	Area (Kmq)	t (ore)
1	0.63	0.27


	Progetto per la costruzione di un impianto di produzione di energia elettrica da fonte eolica di 19 aerogeneratori con potenza di 115 MW e opere di connessione alla RTN, sito nel comune di Rocchetta Sant'Antonio e Candela (FG)	Settembre 2020
--	--	----------------

2	0.20	0.15
3	0.1	0.09
4	0.34	0.20
5	1.68	0.45
6	2.4	0.53
7	0.24	0.17
8	0.30	0.19
9	0.15	0.13
10	1.63	0.44
11	0.2	0.16

Conoscendo il valore del tempo di ritardo è possibile determinare il valore  $h$  dell'altezza di pioggia, ed applicando a quest'ultima i coefficienti relativi al fattore probabilistico di crescita  $K_t$  pari a 1.98 per  $Tr = 30$  anni, a 2.77 per  $Tr = 200$  anni e pari a 3.15 per  $Tr = 500$  anni.

Bacino	$h$ (mm)	$K_t$ (Tr = 30)	$h_{30}$ (mm)	$K_t$ (Tr = 200)	$h_{200}$ (mm)	$K_t$ (Tr = 500)	$h_{500}$ (mm)
1	17.7	1.98	35.1	2.77	49.1	3.15	55.8
2	15.3	1.98	30.3	2.77	42.4	3.15	48.2
3	13.2	1.98	26.2	2.77	36.7	3.15	41.7
4	16.4	1.98	32.4	2.77	45.3	3.15	51.6
5	20.1	1.98	39.8	2.77	55.6	3.15	63.3
6	21.0	1.98	41.6	2.77	58.2	3.15	66.2
7	15.7	1.98	31.0	2.77	43.4	3.15	49.3
8	16.1	1.98	31.9	2.77	44.6	3.15	50.8
9	14.7	1.98	29.2	2.77	40.8	3.15	46.4
10	20.0	1.98	39.6	2.77	55.4	3.15	63.0
11	15.4	1.98	30.5	2.77	42.6	3.15	48.5



	Progetto per la costruzione di un impianto di produzione di energia elettrica da fonte eolica di 19 aerogeneratori con potenza di 115 MW e opere di connessione alla RTN, sito nel comune di Rocchetta Sant'Antonio e Candela (FG)	Settembre 2020
--	--	----------------

#### 5.4 Stima delle portate al colmo di piena

La portata di piena viene calcolata con il metodo del "Soil Conservation Service" (S.C.S.).

Per la stima della pioggia netta, tale da determinare deflusso superficiale, al fine del calcolo della portata di piena, si è utilizzata la metodologia che prevede la determinazione del Curve Number (CN), parametro adimensionale che indica l'attitudine del bacino a produrre deflusso e si stima sulla base delle caratteristiche idrologiche dei suoli e di copertura vegetale. La sua determinazione è effettuata determinando il gruppo idrologico di appartenenza (A, B, C, D) e, all'interno di ciascun gruppo, valutando la copertura d'uso del suolo; alle sottoclassi così determinate viene associato un valore di CN.

I valori del CN, quindi, rappresentano la capacità di risposta dei bacini analizzati, in termini di infiltrazione e ruscellamento superficiale a fronte di un evento meteorico. Le caratteristiche geolitologiche sono state determinate facendo riferimento alla carta dei suoli redatta dall'IRSA CNR in scala 1:100.000, ed è stato possibile caratterizzare i suoli dal punto di vista della permeabilità secondo la classificazione SCS (Carta litologica).

<b>Gruppo A</b>	Suoli aventi scarsa potenzialità di deflusso. Comprende sabbie profonde, con scarsissimo limo ed argilla e ghiaie profonde, molto permeabili. Capacità di infiltrazione in condizioni di saturazione molto elevata.
<b>Gruppo B</b>	Suoli aventi moderata potenzialità di deflusso. Comprende la maggior parte dei suoli sabbiosi meno profondi che nel gruppo A. Elevate capacità di infiltrazione anche in condizioni di saturazione.
<b>Gruppo C</b>	Suoli aventi potenzialità di deflusso moderatamente alta. Suoli contenenti considerevoli quantità di argilla e colloidali. Scarsa capacità di infiltrazione e saturazione.
<b>Gruppo D</b>	Potenzialità di deflusso molto elevata. Argille con elevata capacità di rigonfiamento, ma anche suoli sottili con orizzonti pressochè impermeabili in vicinanza della superficie. Scarsissima capacità di infiltrazione a saturazione.

*Gruppi geolitologici*

La suddivisione in base al tipo di copertura o uso del suolo comprende, invece, aree caratterizzate da differenti morfologie (pascoli, terrazzamenti, etc.), varie coperture vegetali (boschi, praterie, parchi) e diverse condizioni di conservazione e destinazione d'uso (coltivazioni, parcheggi, distretti industriali o altro).

Dall'analisi della Carta dell'Uso del Suolo, si evince che tutti gli aerogeneratori sono ubicate in zone caratterizzate dalla presenza di **seminativi semplici in aree non irrigue**, non andando ad interessare terreni di colture di particolare pregio.

Nell'applicazione del metodo sono previste tre classi, rispettivamente la I, la II, e la III del grado di umidità del terreno, in funzione dell'altezza di pioggia caduta nei 5 giorni precedenti l'evento esaminato (Antecedent Moisture Condition): molto asciutto (<50 mm), standard (tra 50 e 110 mm) e molto umido (oltre 110 mm).

Poiché lo studio è rivolto al calcolo delle portate di piena e considerato che in occasione di queste il terreno del bacino si presenta in condizioni di elevato imbibimento, considerata l'entità degli interventi, si è preferito adottare a vantaggio di sicurezza un valore del Curve Number pari al CN III, in quanto trattasi di aree non urbanizzate.

Il CN III si calcola a partire dal CN II corrispondente alla classe AMC-tipo II, come di seguito tabellato:

Tipo di copertura	A	B	C	D
Aree agricole con presenza di spazi naturali	62	71	78	81
Aree Urbane	98	98	98	98
Area residenziale	77	85	90	92
Cava	60	60	60	60
Distretti industriali	81	88	91	93
Bacini di acqua	100	100	100	100
Colture erbacee da pieno campo a ciclo primaverile estivo	72	81	88	91
Colture orticole a ciclo estivo-autunnale/primaverile	72	81	88	91
Colture orticole a ciclo primaverile-estivo	72	81	88	91
Colture temporanee associate a colture permanente	62	71	78	81
Frutteti e frutti minori non irrigui	62	71	78	81
Frutteti e frutti minori irrigui	72	81	88	91
Oliveti irrigui	72	81	88	91
Oliveti non irrigui	62	71	78	81
Prati stabili non irrigui	30	58	71	78
Seminativi in aree non irrigue	62	71	78	81
Sistemi colturali e particellari complessi	72	81	88	91
Vigneti irrigui	72	81	88	91
Vigneti non irrigui	62	71	78	81
Zone boscate	45	66	77	83

Definito il parametro del CN III ( $CN\ III = CN\ II/0.43 + 0.0057 \cdot CN\ II$ ) è possibile determinare il valore di altezza di pioggia netta  $P_n$ , mediante la seguente relazione:

$$P_n = \frac{(P - 0.2 S)^2}{P + 0.8 S} \text{ in mm}$$

con  $S = 254 \cdot (100/CN - 1)$  che rappresenta il massimo volume di invaso al suolo, in funzione del CN e P è l'altezza di pioggia totale, precedentemente calcolata con il metodo VaPi Piogge, in corrispondenza di un evento con assegnato tempo di ritorno.


Bacino	CN II medio	CN III	S (mm)	P30 (mm)	Pn30 (mm)	P200 (mm)	Pn200 (mm)	P500 (mm)	Pn500 (mm)
1	76.8	88.50	32.99	35.1	13.19	49.1	23.91	55.8	29.46
2	80	90.29	27.31	30.3	11.82	42.4	21.22	48.2	26.06
3	80.9	90.78	25.79	26.2	9.48	36.7	17.35	41.7	21.45
4	81.2	90.95	25.29	32.4	14.22	45.3	24.75	51.6	30.13
5	80.4	90.51	26.63	39.8	19.43	55.6	32.90	63.3	39.70
6	81	90.84	25.62	41.6	21.41	58.2	35.77	66.2	42.99
7	81.4	91.05	24.96	31.0	13.27	43.4	23.26	49.3	28.36
8	80	90.29	27.31	31.9	13.01	44.6	23.08	50.8	28.25
9	81	90.84	25.62	29.2	11.66	40.8	20.80	46.4	25.50
10	83.3	92.06	21.90	39.6	21.73	55.4	35.72	63.0	42.70
11	81.7	91.21	24.5	30.5	13.08	42.6	22.90	48.5	27.92

Secondo il metodo SCS, il tempo di ritardo del bacino idrografico viene calcolato con la formula di Mockus, per cui:

$$t_r = 0.342 \cdot (L^{0.8}/s^{0.5}) \cdot (1000/CN - 9)^{0.7}, \text{ dove}$$

s: pendenza media del bacino espressa in %

L: lunghezza dell'asta principale estesa sino allo spartiacque espressa in Km.

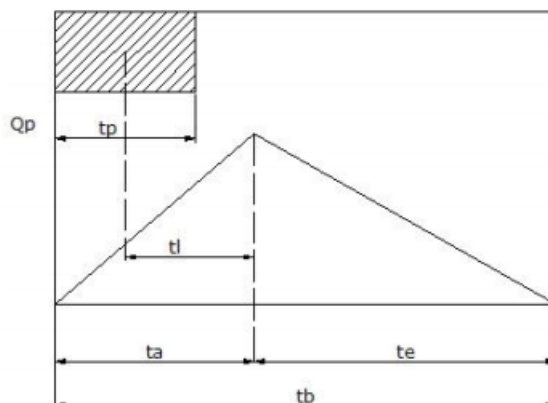
	Progetto per la costruzione di un impianto di produzione di energia elettrica da fonte eolica di 19 aerogeneratori con potenza di 115 MW e opere di connessione alla RTN, sito nel comune di Rocchetta Sant'Antonio e Candela (FG)	Settembre 2020
--	--	----------------

Il passaggio dal tempo di ritardo al tempo di corrivazione del bacino avviene attraverso la seguente formula:

$$t_c = t_r / 0.6.$$

Per il calcolo della portata al colmo si considera un diagramma di piena triangolare "Idrogramma di Mockus", che ha una fase crescente di durata  $t_a$  (tempo di accumulo) e una fase di esaurimento di durata  $t_e$  (tempo di esaurimento).

Il tempo di accumulo è pari a  $t_a = 0.5 t_c + t_r$



L'area sottesa da tale triangolo definisce la portata al colmo di piena, che, pertanto, assume la formulazione seguente:

$$Q_p = 0,208 (P_n * A) / t_a$$

L'ascissa e l'ordinata del picco dell'onda di piena rappresentano, rispettivamente, il tempo di risposta del bacino e la portata al colmo.


Bacino	L (km)	s (%)	t1 (ore)	tp (ore)	ta (ore)	A (kmq)	Pn30 (mm)	Q (Tr = 30) (mc/s)	Pn200 (mm)	Q (Tr = 200) (mc/s)	Pn500 (mm)	Q (Tr = 500) (mc/s)
1	1.5	16.7	0.21	0.35	0.38	0.63	13.19	4.55	23.91	8.2	29.46	10.2
2	0.95	19.5	0.12	0.21	0.23	0.20	11.82	2.17	21.22	3.9	26.06	4.8
3	0.64	23.6	0.08	0.13	0.15	0.07	9.48	0.87	17.35	1.6	21.45	2.0
4	1.5	11.4	0.23	0.38	0.42	0.34	14.22	2.41	24.75	4.2	30.13	5.1
5	1.4	18.3	0.17	0.29	0.32	1.68	19.43	21.42	32.90	36.3	39.70	43.8
6	2.8	17.8	0.30	0.50	0.55	2.38	21.41	19.21	35.77	32.1	42.99	38.6
7	1.3	17.8	0.16	0.27	0.30	0.24	13.27	2.24	23.26	3.9	28.36	4.8
8	1.1	15.8	0.15	0.26	0.28	0.30	13.01	2.86	23.08	5.1	28.25	6.2
9	0.66	14.5	0.10	0.17	0.19	0.15	11.66	1.89	20.80	3.4	25.50	4.1
10	2.5	17.2	0.27	0.44	0.49	1.63	21.73	15.15	35.72	24.9	42.70	29.8
11	0.85	16.8	0.12	0.20	0.22	0.21	13.08	2.65	22.90	4.6	27.92	5.7

## 6 STUDIO IDRAULICO

Lo studio dei fenomeni di inondazione affronta essenzialmente due problemi:

- la modellazione dell'evento di pioggia – analisi idrologica;
- la definizione dell'evoluzione dell'onda di piena all'interno dell'alveo - analisi idraulica.

Si riportano, di seguito, le portate di piena bicentenaria determinate con lo studio idrologico, che saranno considerate come input per la modellazione idraulica, finalizzata alla simulazione della propagazione di tale portata nei tratti rappresentativi degli alvei di studio.

	Progetto per la costruzione di un impianto di produzione di energia elettrica da fonte eolica di 19 aerogeneratori con potenza di 115 MW e opere di connessione alla RTN, sito nel comune di Rocchetta Sant'Antonio e Candela (FG)	Settembre 2020
--	--	----------------

Bacino	Q (Tr = 200) (mc/s)	i (%)
1	8.2	12.8
2	3.9	17.4
3	1.6	22.4
4	4.2	10.9
5	36.3	22.3
6	32.1	11.1
7	3.9	15.8
8	5.1	15.7
9	3.4	13.7
10	24.9	12.3
11	4.6	17.5

Al fine di aumentare il criterio di sicurezza e per conferire al modello idraulico la giusta rappresentatività nelle condizioni più gravose, si è assunto di applicare le portate di piena calcolate nello studio idrologico, riferite alla sezione di chiusura del bacino.

Dapprima è stato generato il TIN (Triangulated Irregular Network) a partire dal DTM (Digital Terrain Model), in seguito sono stati tracciati lo stream (river) e i cigli del corso d'acqua (banks), i flowpath che rappresentano il dominio in cui studiare la propagazione della piena e, infine, sono state generate le sezioni trasversali di studio (cut section).

Per lo studio idraulico si è utilizzato il software HEC-RAS, attraverso il quale, inserendo i dati geometrici dell'alveo e i dati idrologici sulla portata (condizioni al contorno), è possibile modellare la propagazione di una corrente lungo un corso d'acqua in condizioni sia di moto permanente che di moto vario, utilizzando uno schema di moto monodimensionale o bidimensionale.

La schematizzazione più utilizzata è quella monodimensionale, la quale offre risultati soddisfacenti quando la componente principale di moto è lungo una direzione prevalente.

Risulta ragionevole considerare una direzione prevalente di deflusso delle acque e, quindi, utilizzare uno schema di moto monodimensionale per la modellazione idraulica.

Per poter risolvere correttamente le equazioni di moto occorre disporre delle condizioni di monte e di valle che regolano il deflusso della corrente. A tale proposito occorre ricordare che una corrente lenta è influenzata dalle condizioni di monte mentre una corrente veloce è influenzata unicamente dalle condizioni di valle; se infine si tratta di una corrente mista allora sarà influenzata sia dalle condizioni al contorno a monte che a valle.

Nel caso in studio, la verifica idraulica è stata condotta utilizzando delle sezioni trasversali agli impluvi ubicate ad una distanza media l'una dall'altra di 30 m (River 1, 2, 4, 5, 7, 10), 20 m (River 3, 8, 9, 11) e 40 m (River 6). Le caratteristiche di moto sono state valutate su ogni singola sezione trasversale dei corsi d'acqua, quindi, è stata valutata l'interferenza con le sezioni contigue.

Di seguito si riportano i bacini di studio:

<b>WTG1</b>	
Bacino	River
1	River 1
2	River 2
3	River 3

<b>WTG3</b>	
Bacino	River
4	River 4

<b>WTG6</b>	
Bacino	River
5	River 5

<b>WTG9</b>	
Bacino	River
10	River 10

<b>WTG15</b>	
Bacino	River
6	River 6

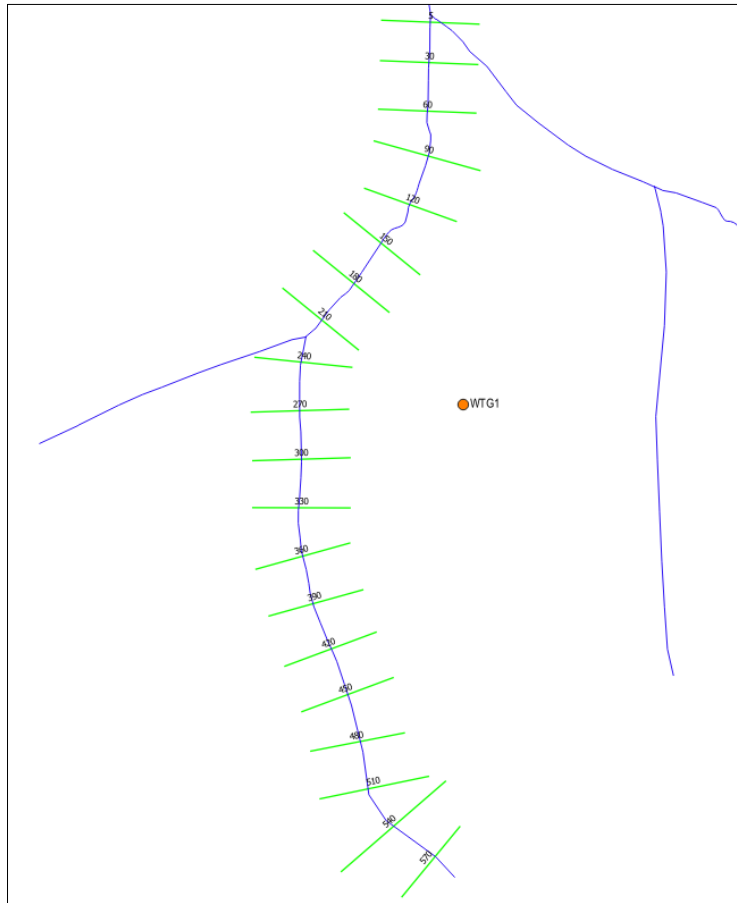
<b>WTG16</b>	
Bacino	River
7	River 7

<b>WTG18</b>	
Bacino	River
9	River 9

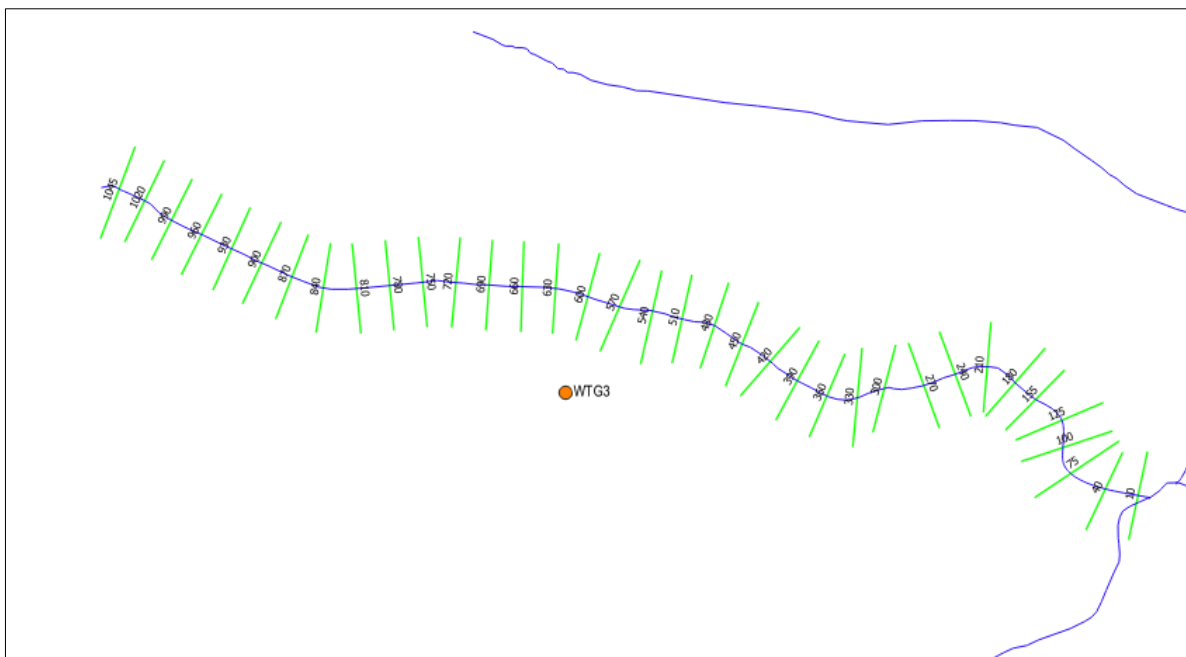
<b>WTG19</b>	
Bacino	River
8	River 8



ESEMPIO DI GEOMETRIA: RIVER 2 – BACINO 2

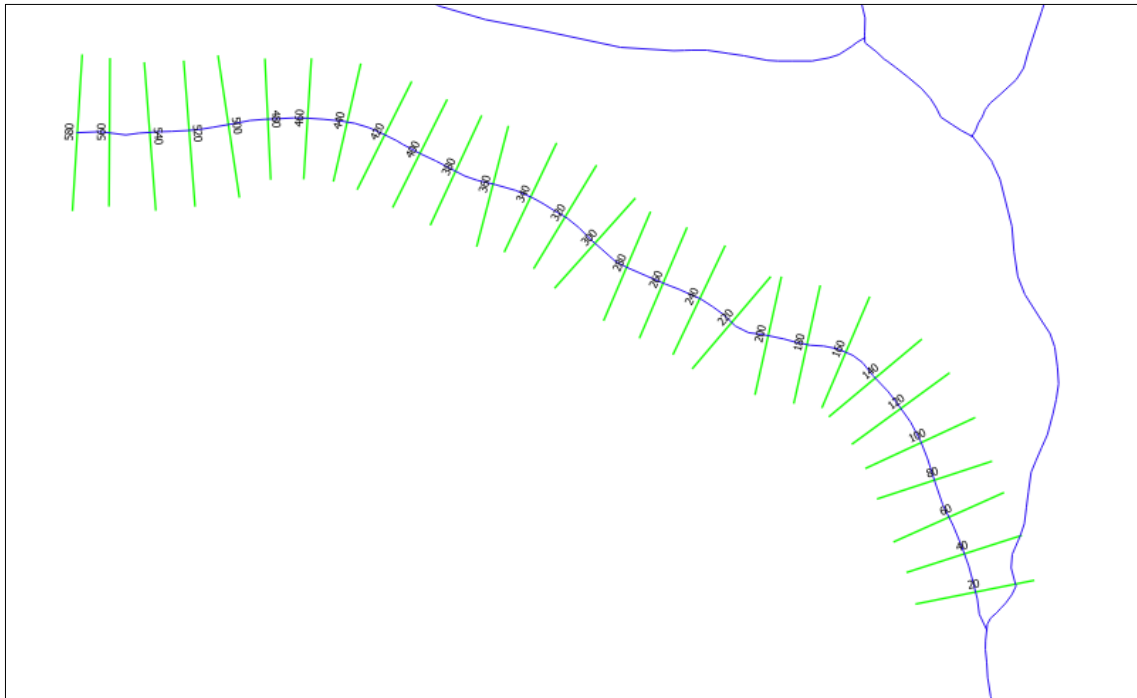


ESEMPIO DI GEOMETRIA: RIVER 4 – BACINO 4





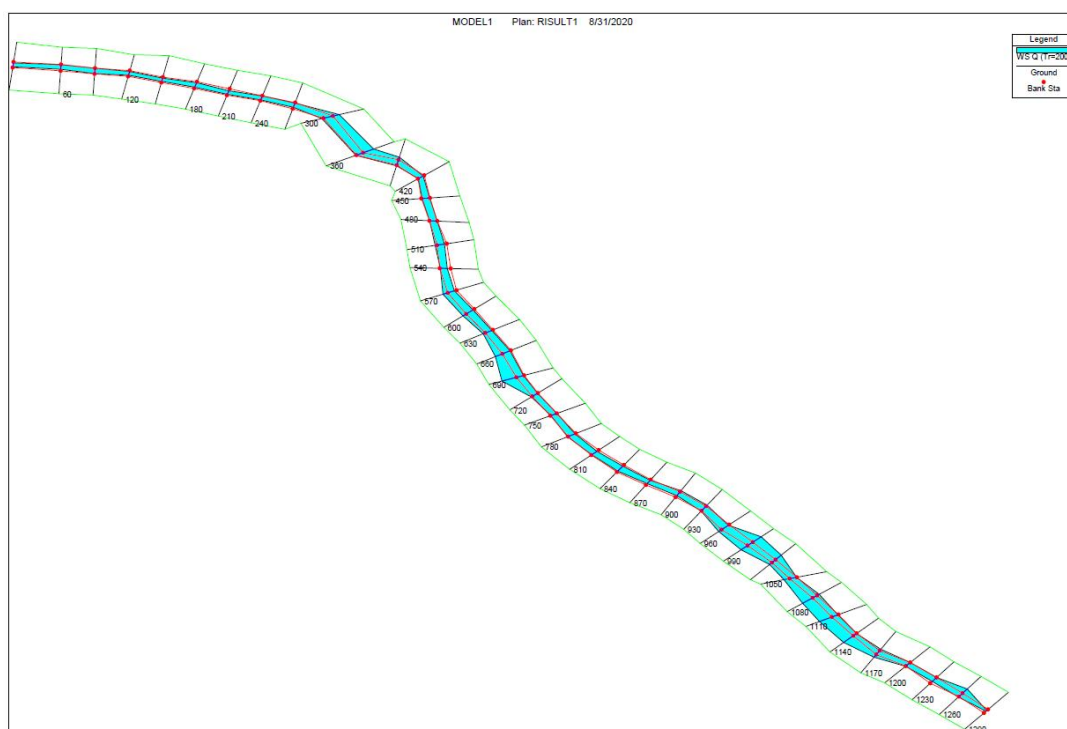
ESEMPIO DI GEOMETRIA: RIVER 8 – BACINO 8



## 6.1. Aree di alluvionamento

Stabilita la portata defluente in una determinata sezione dell'asta fluviale per un determinato tempo di ritorno, si procede alla determinazione del profilo liquido al fine di valutare l'effettiva area allagabile per un evento con  $T_r$  pari a 200 anni (profilo di studio). In base alle verifiche svolte, la naturale larghezza degli impluvi nei tratti studiati consente di smaltire le portate senza rilevante pericolo per il territorio circostante.

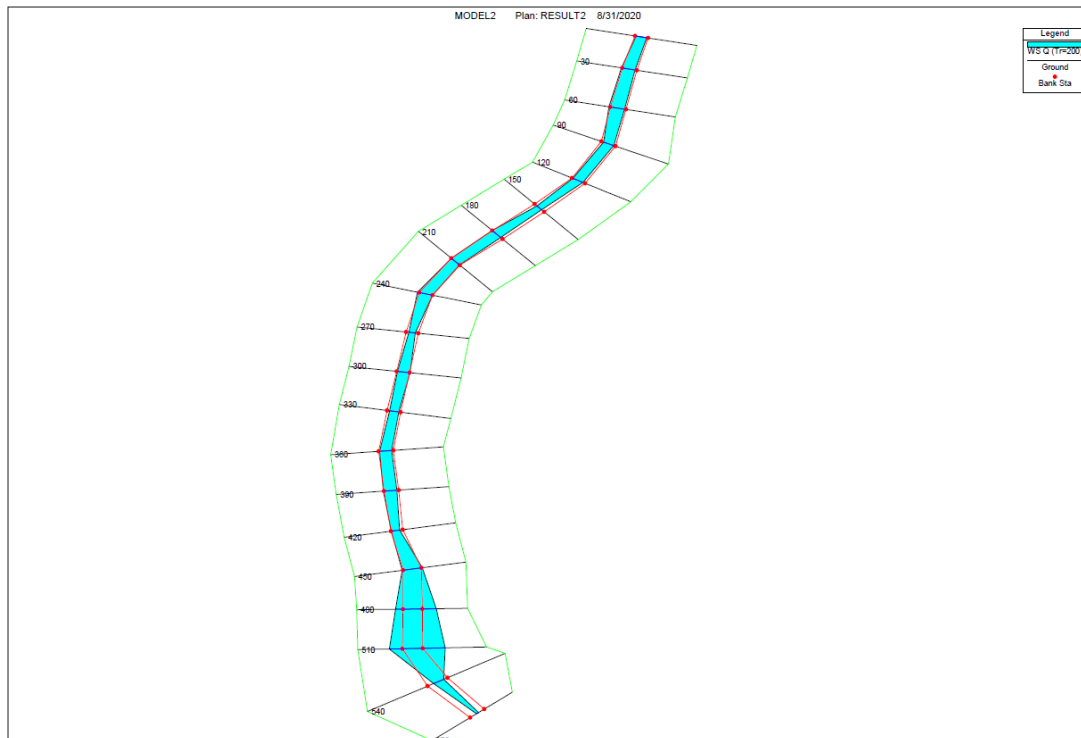
BACINO 1 – RIVER 1



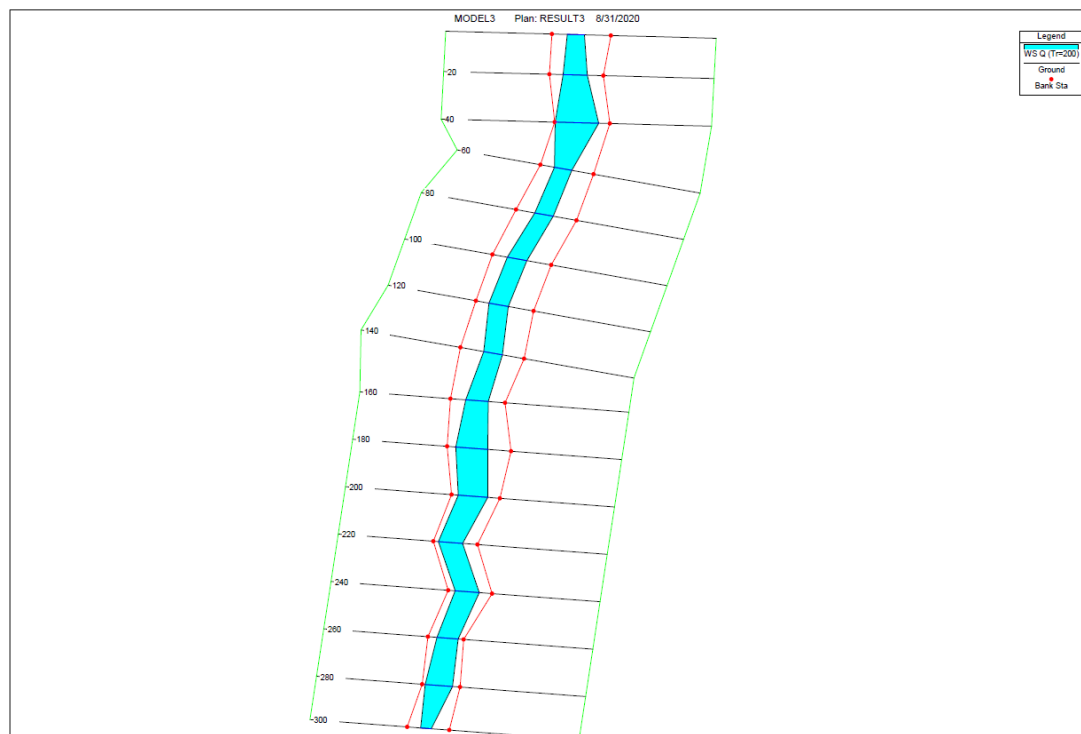




### BACINO 2 – RIVER 2

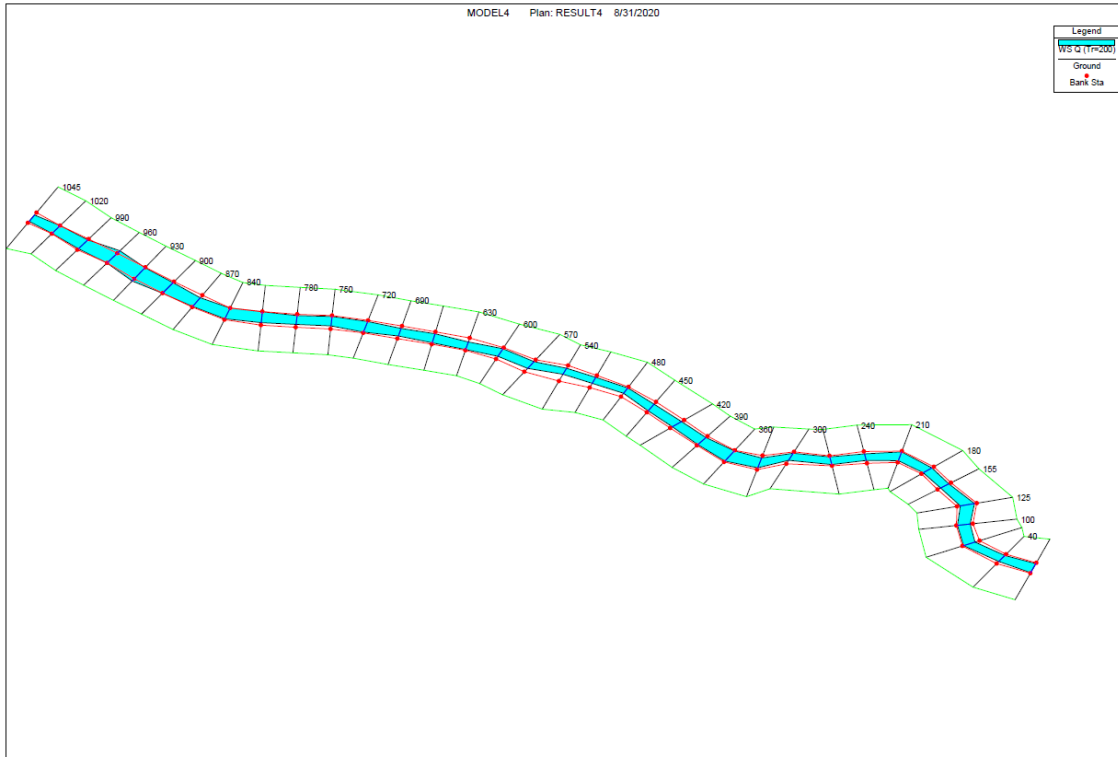


### BACINO 3 – RIVER 3

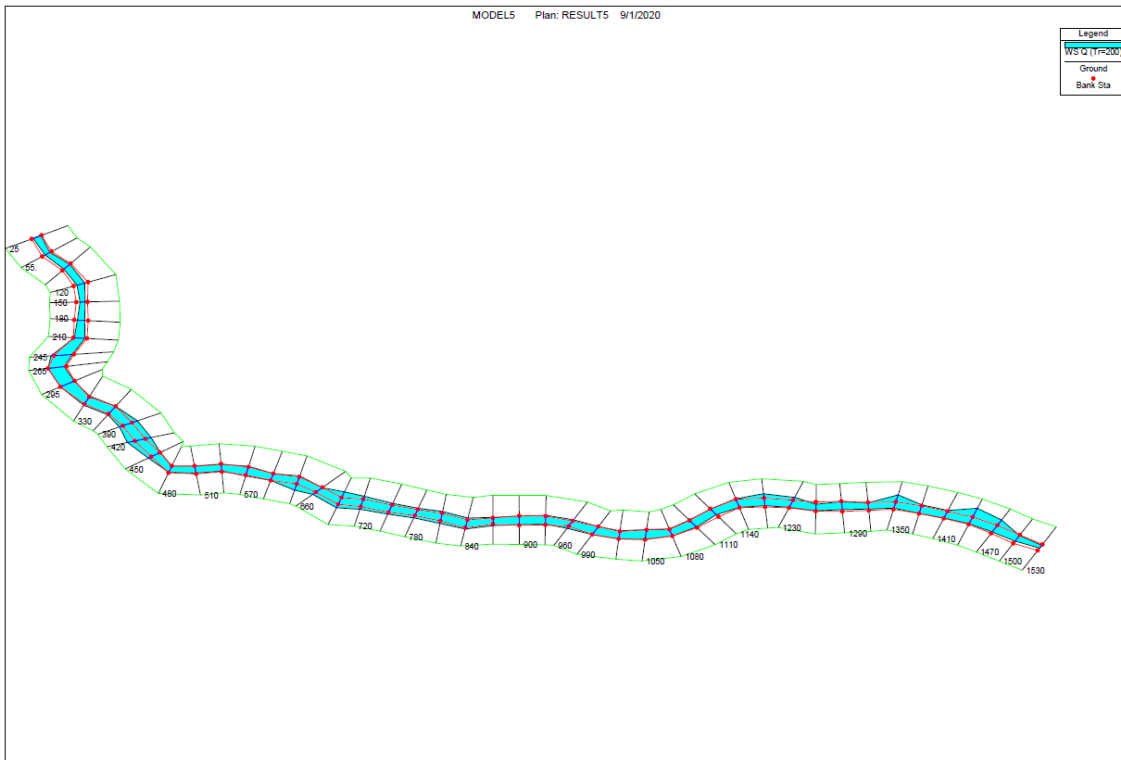




### BACINO 4 – RIVER 4

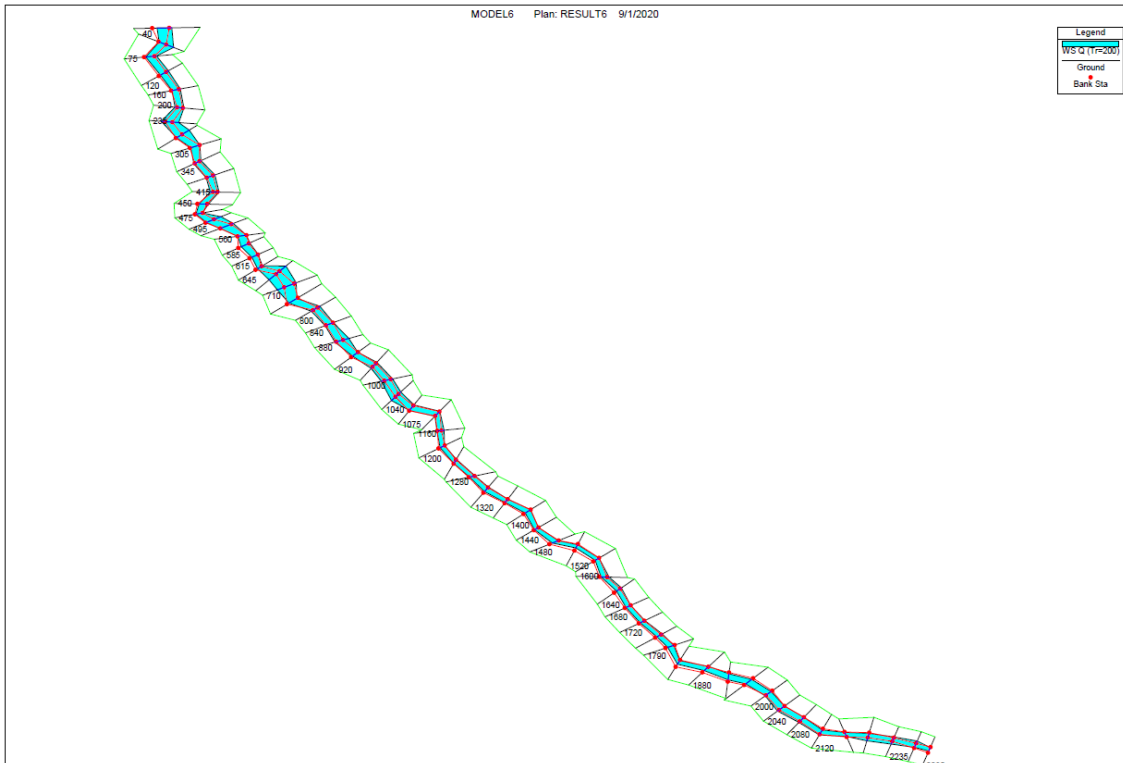


### BACINO 5 – RIVER 5

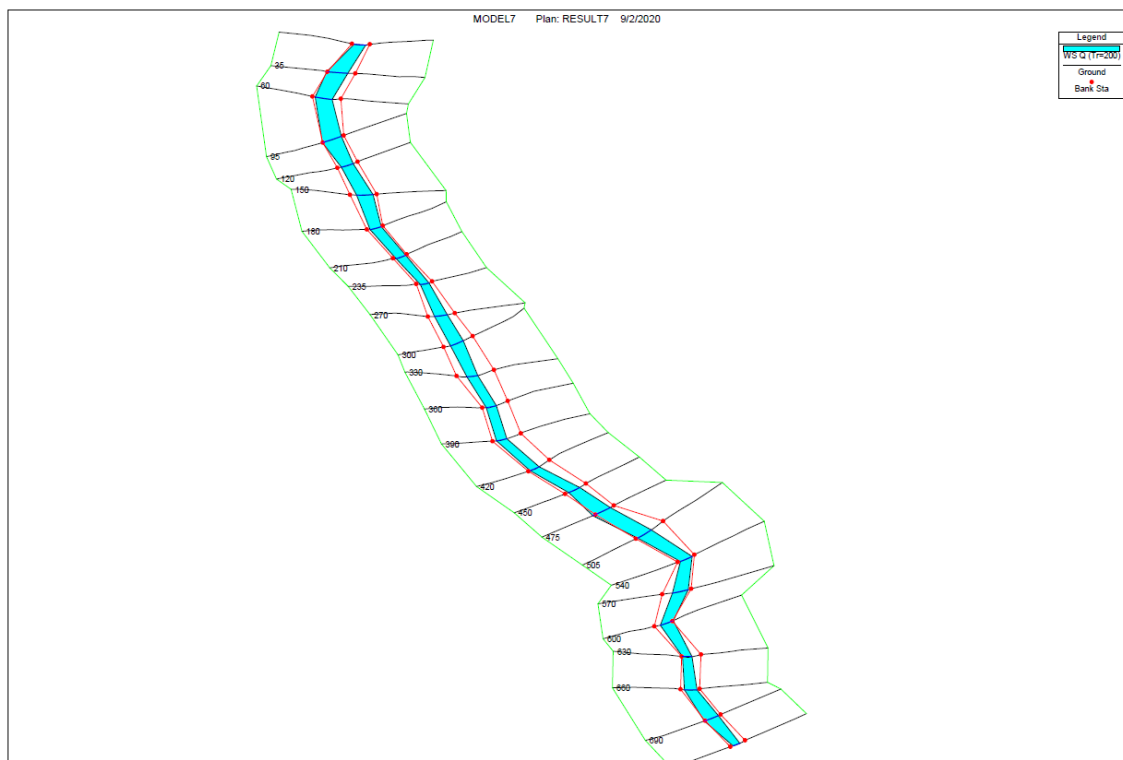




### BACINO 6 – RIVER 6

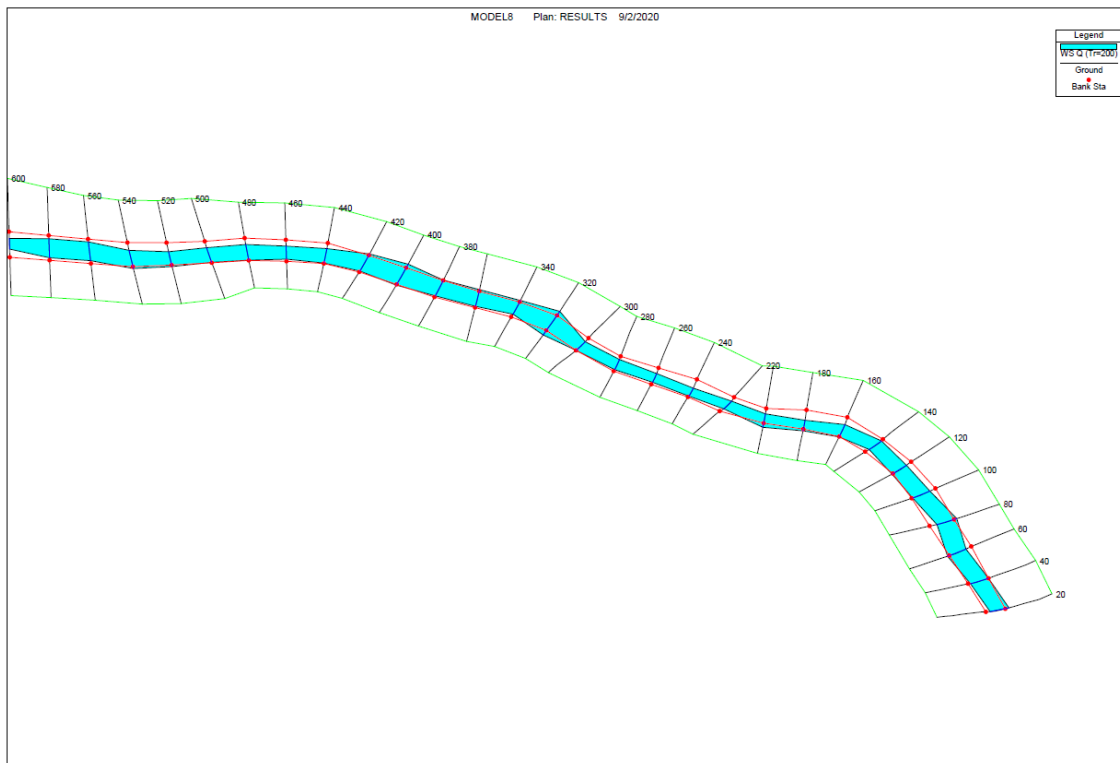


### BACINO 7 – RIVER 7

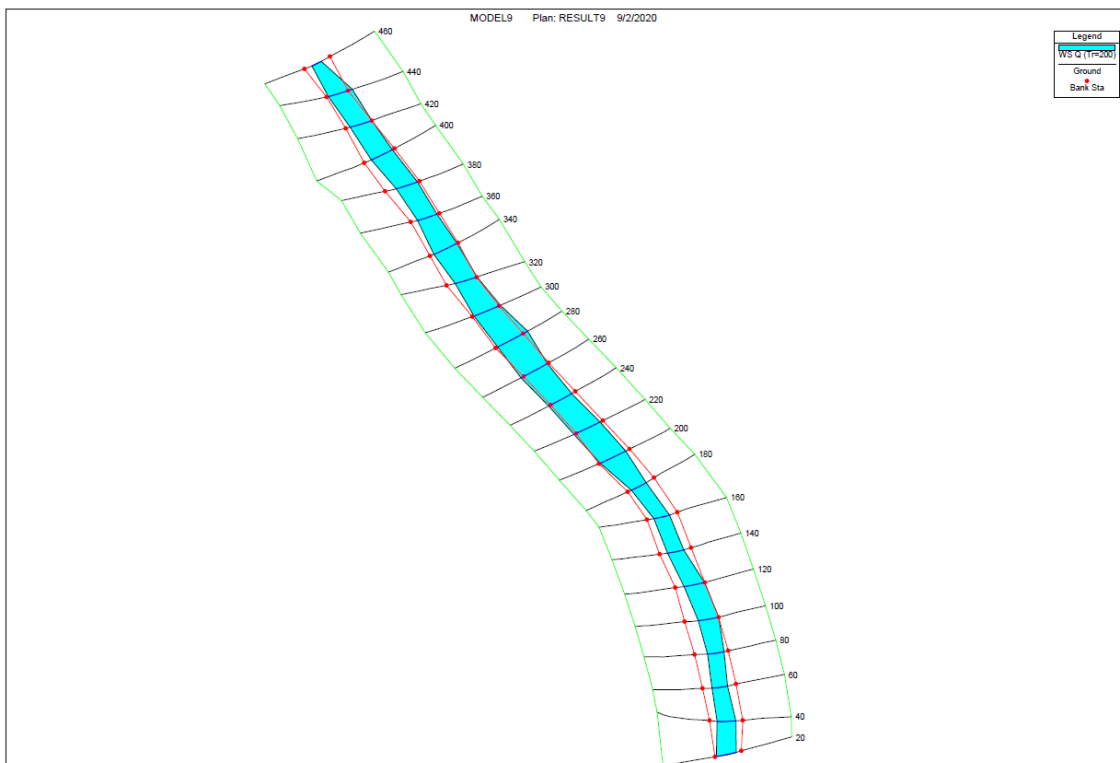




### BACINO 8 – RIVER 8

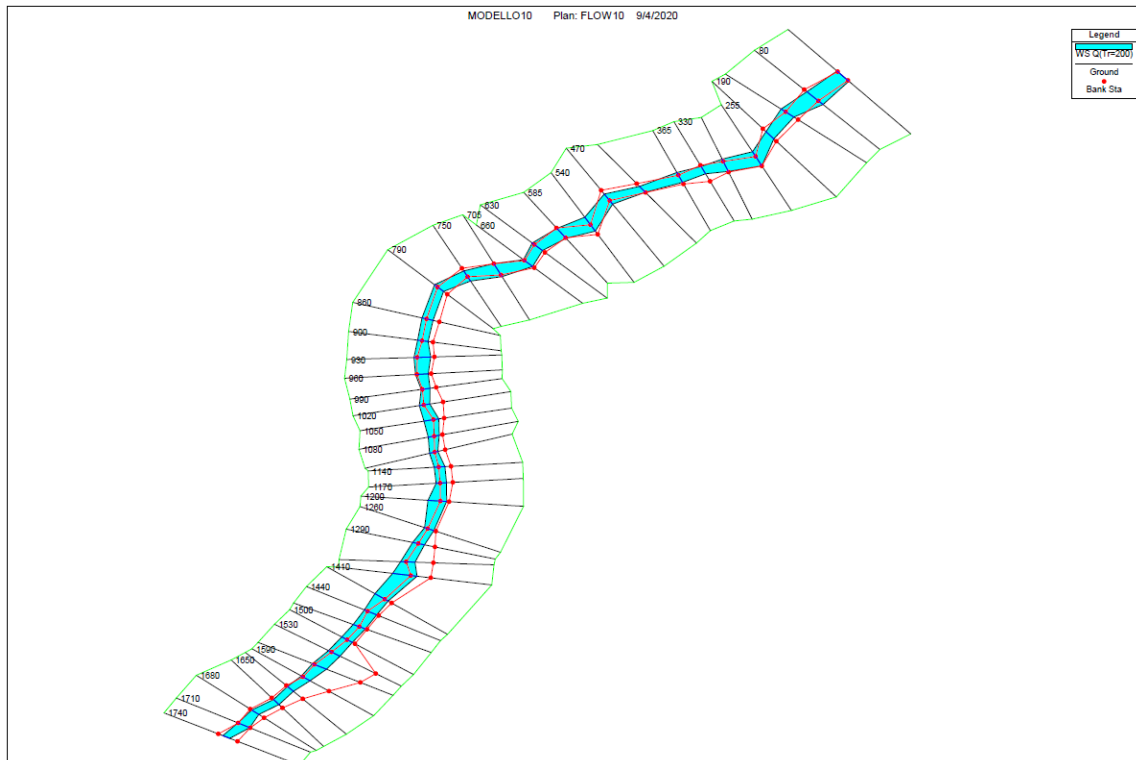


### BACINO 9 – RIVER 9

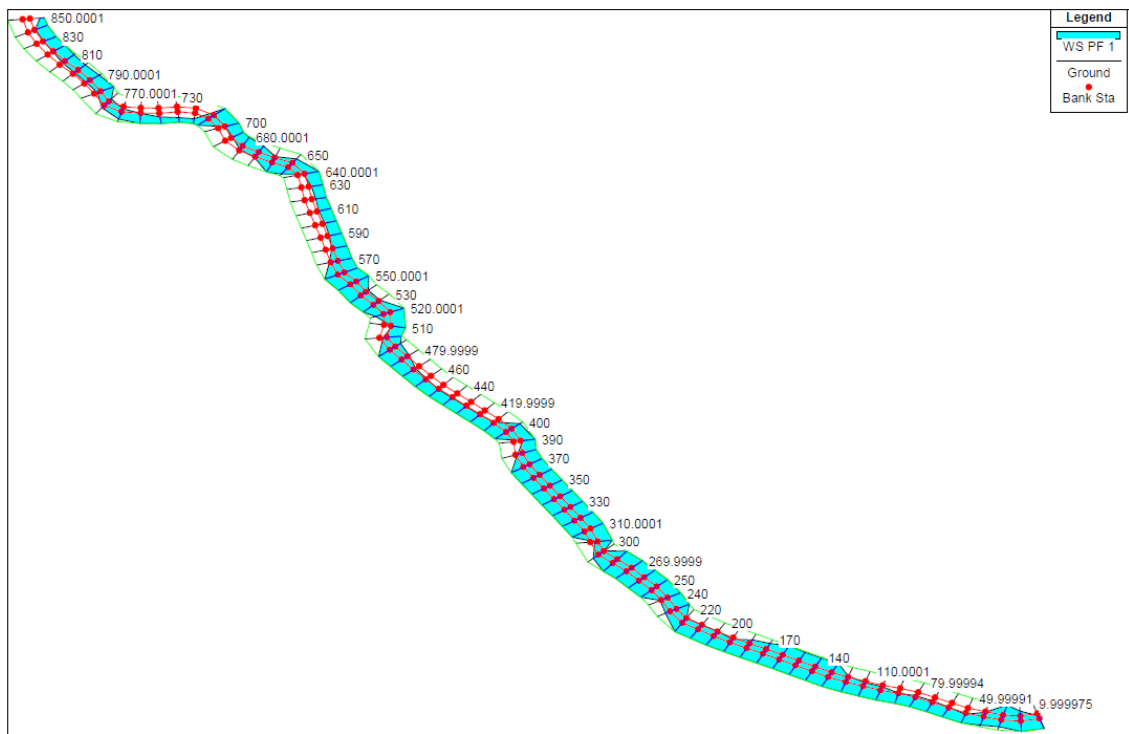





### BACINO 10 – RIVER 10



### BACINO 11 – RIVER 11



	Progetto per la costruzione di un impianto di produzione di energia elettrica da fonte eolica di 19 aerogeneratori con potenza di 115 MW e opere di connessione alla RTN, sito nel comune di Rocchetta Sant'Antonio e Candela (FG)	Settembre 2020
--	--	----------------

## 7 INTERSEZIONI CAVIDOTTO – RETICOLI IDROGRAFICI

In presenza di attraversamenti di alcune criticità, ad esempio in corrispondenza dei fiumi, torrenti e corsi d'acqua, si utilizzerà la tecnica di trivellazione orizzontale controllata, detta T.O.C., che rappresenta una tecnologia no dig idonea alla posa di nuove condotte senza effettuare scavi a cielo aperto, minimizzando, se non annullando, gli impatti in fase di costruzione.

I vantaggi della trivellazione orizzontale controllata rispetto alla tecnica tradizione di scavo sono:

- Esecuzione di piccoli scavi mirati in corrispondenza dei fori di partenza e arrivo del tubo;
- Invariabilità delle strutture sovrastanti (manto stradale nel caso di strade asfaltate, sezione e ricoprimento dell'alveo nel caso di corsi d'acqua);
- Possibilità di controllare la perforazione evitando eventuali servizi interrati preesistenti passando al di sotto o al di sopra degli stessi;
- Drastica riduzione della presenza di mezzi di movimento terra e trasporto materiali da risulta;
- Elevata produttività, flessibilità di utilizzo ed economicità;
- Continuità del traffico stradale senza interruzione alla viabilità (per gli attraversamenti stradali).



*Posa in opera tubazione con trivellazione teleguidata*

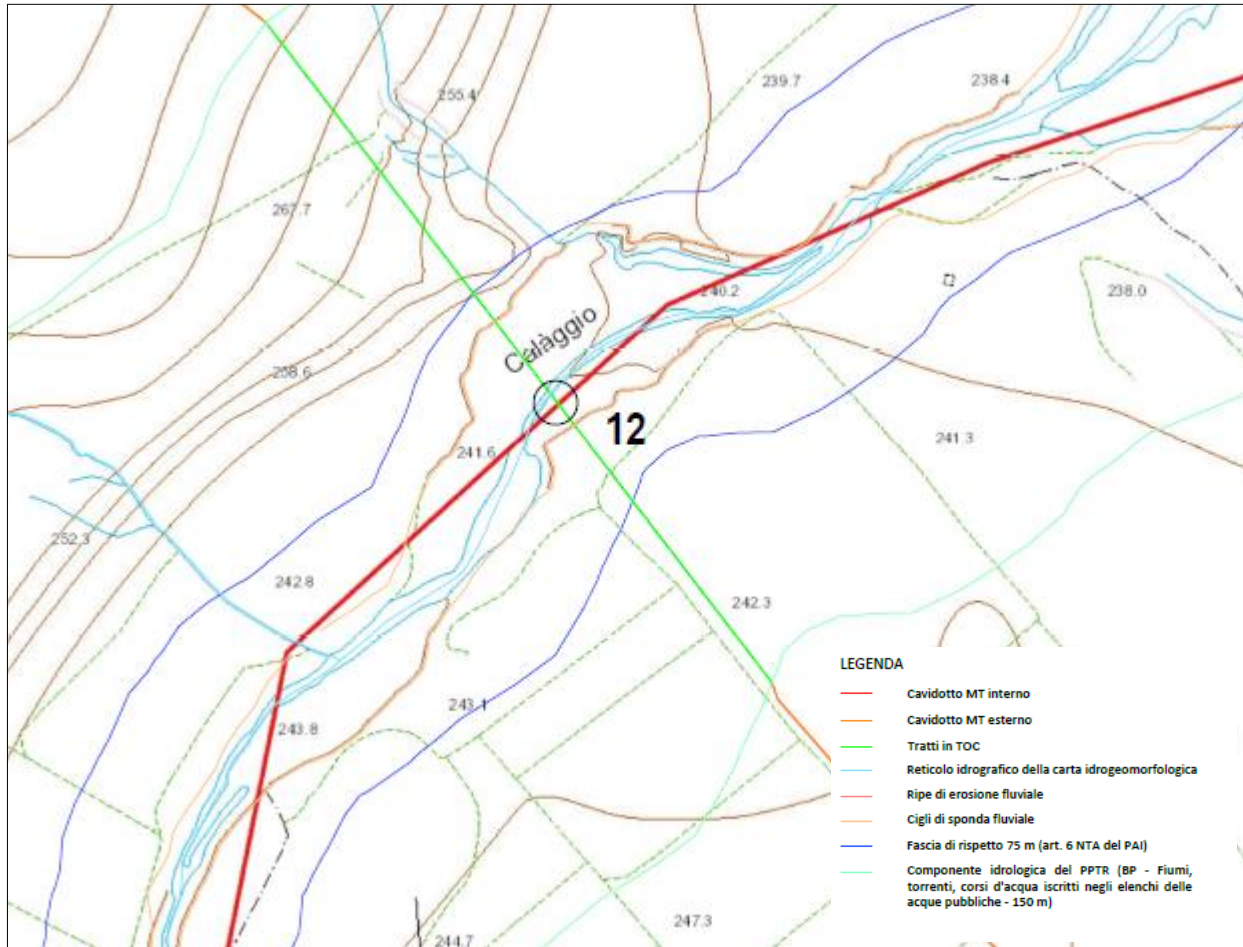
Il tracciato del cavidotto MT in progetto presenta le seguenti tipologie di interferenza:

1. Con reticolo idrografico in punti in cui non sono presenti opere idrauliche;
2. Con reticolo idrografico in punti in cui sono presenti opere idrauliche;
3. Con autostrada A16.

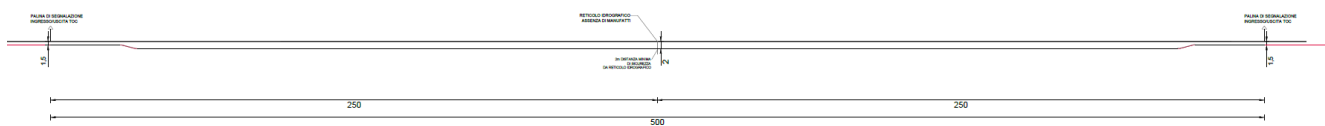
Tutte queste interferenze saranno risolte mediante TOC, avendo cura di mantenere un franco di sicurezza di almeno:

- 2 metri nel caso 1.
- 5 metri nel caso 2. e 3.

In particolare, tra le linee del reticolo idrografico attraversate dal cavidotto MT in progetto quella di maggior rilevanza è sicuramente il Torrente Calaggio, che corre parallelamente all'autostrada A16.



Attraversamento in T.O.C. del Torrente Calaggio

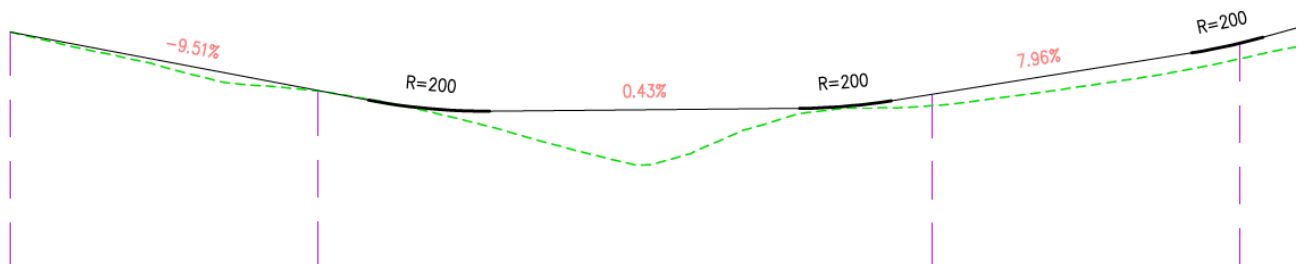


Sezione - Superamento interferenza in T.O.C.

Per maggior informazioni sulle modalità di attraversamento delle interferenze presenti, si rimanda all'elaborato progettuale "Interferenze del cavidotto MT", in cui sono riportate viste di dettaglio in pianta e in sezione della risoluzione di ciascuna interferenza.

## 8 VERIFICA INTERFERENZE DEL RETICOLO IDROGRAFICO CON LE NUOVE PISTE A SERVIZIO DEGLI AEROGENERATORI

In riferimento alle nuove piste degli aerogeneratori sono state analizzate le intersezioni dei reticoli con la viabilità relativa al layout di progetto.



1	2	3	4
0+000.00	0+050.00	0+150.00	0+200.00
409.07	404.28	403.08	406.89
409.07	404.32	404.01	408.15

Per quanto riguarda l'interferenza del reticolo con la viabilità relativa all'aerogeneratore WTG9, è stata analizzata la possibilità di intervenire in sito attraverso l'inserimento di condotte di tipo ARMCO, per garantire la continuità idraulica del canale.

Per il dimensionamento delle condotte, noto il coefficiente di scabrezza di Gauckler-Strickler per le condotte in acciaio,  $k_s = 85 [m^{1/3}/s]$  e la portata  $Q = 3,4 [m^3/s]$ , è stato possibile ricavare il diametro  $D [m]$  e la pendenza  $i [m/m]$  che le condotte devono avere affinché la portata di progetto sia convogliata con una velocità media non superiore a  $v = 2,50 m/s$  ed con un grado massimo di riempimento del 80 % (corrispondente ad un angolo  $\alpha = 4,4286 rad$ ).

Per ottimizzare la progettazione è stato considerato l'utilizzo di tre condotte in parallelo, per le quali è stato considerato un valore di portata pari ad un terzo della portata totale, quindi pari a  $1,1 [m^3/s]$ .



Partendo dalla formula di Chezy:

$$V = x \cdot \sqrt{R \cdot i}$$

e adattandola in funzione della formula di Gauckler Strickler, relativa al coefficiente di scabrezza, è possibile ricavare il valore del rapporto adimensionale F, che esprime una relazione tra le grandezze geometriche e idrauliche presenti nella formula di Chezy:

$$F = \frac{Q}{k_s \cdot D^{\frac{8}{3}} \cdot \sqrt{i}} = 0,0496 \cdot \frac{(\alpha - \text{sen}\alpha)^{\frac{5}{3}}}{\alpha^{\frac{2}{3}}} = 0,30$$

Nota la funzione omotetica F, combinandola con la funzione di continuità (Q=AV=costante), scritta in funzione di  $\alpha$ , si ricava la seguente formula.

$$F_v = \frac{V^4}{k_s \cdot D^{\frac{8}{3}} \cdot \sqrt{i}} = \frac{(\alpha - \text{sen}\alpha)}{2 - \alpha^2} = 0,14$$

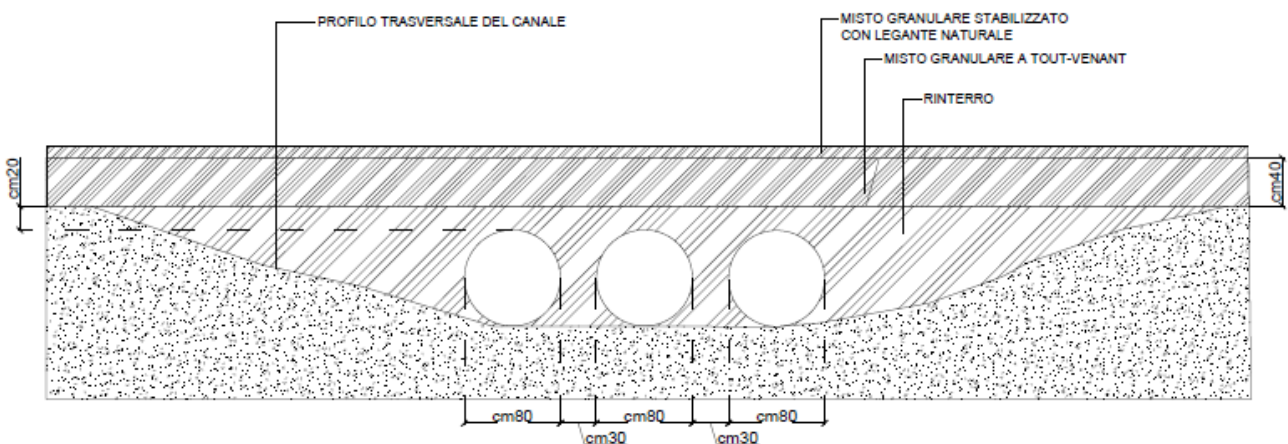
Sfruttando le due equazioni scritte in precedenza è stato possibile ricavare, noto  $\alpha$ , il valore della pendenza e del diametro delle condotte.

$$i = \left( \frac{V^4}{k_s \cdot Q \cdot F_v} \right)^{\frac{2}{3}} = \left( \frac{2,5^4}{85 \cdot 1,1 \cdot 0,14} \right) = 0,6 \%$$

$$D = \left( \frac{Q}{k_s \cdot F \cdot \sqrt{i}} \right)^{\frac{3}{8}} = \left( \frac{1,1}{8,5 \cdot 0,30 \cdot \sqrt{0,006}} \right)^{\frac{3}{8}} = 0,79 \text{ m } (D_{\text{commerciale}} = 0,80 \text{ m})$$

Per il diametro della condotta è stato scelto il diametro commerciale immediatamente superiore al diametro calcolato.

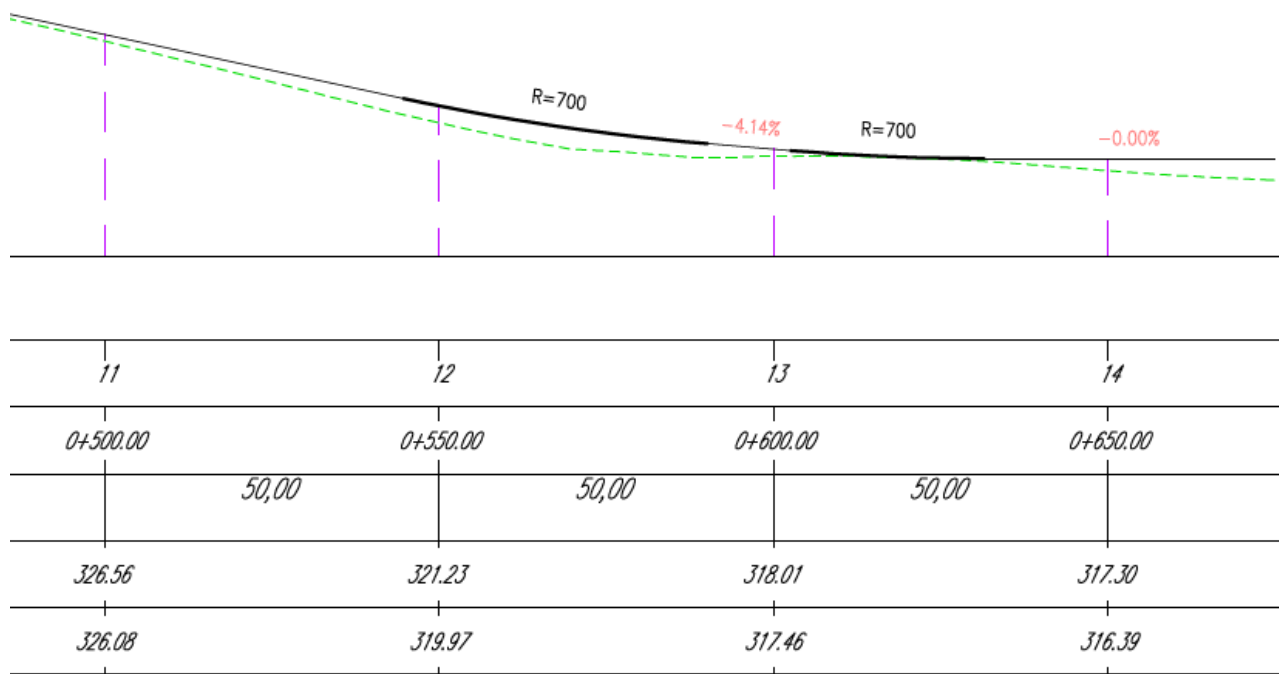
Al fine di convogliare l'intera portata del canale riducendo i volumi di rinterro, è stata considerata una soluzione con tre tubi ARMCO di diametro pari a 80 cm, posti a distanza di 30 cm, per garantire la continuità idraulica del canale.

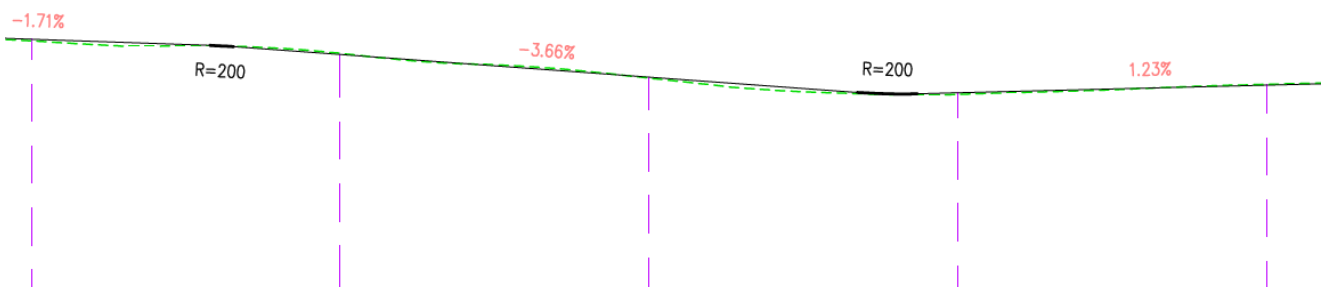
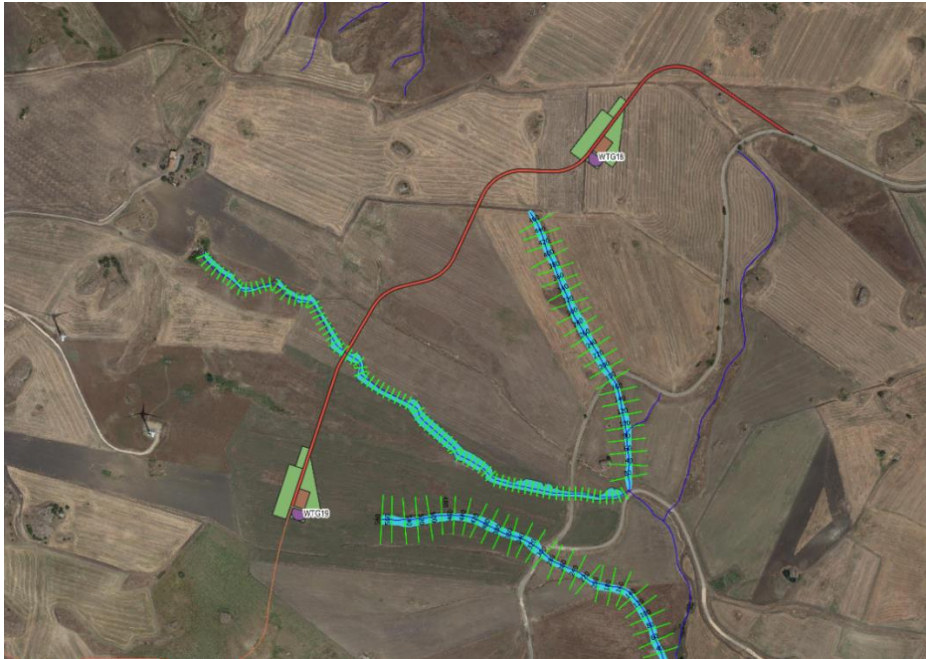


Profilo trasversale canale

Per quanto riguarda invece le interferenze del reticolo con la viabilità relativa all'aerogeneratore WTG1 e al tratto tra l'aerogeneratore WTG18 e WTG 19, è stata prevista la realizzazione di una strada che segua l'andamento altimetrico del

terreno, in modo da consentire una regolare deflusso delle acque, garantendo la continuità idraulica del canale nel caso di eventi di piena eccezionale.





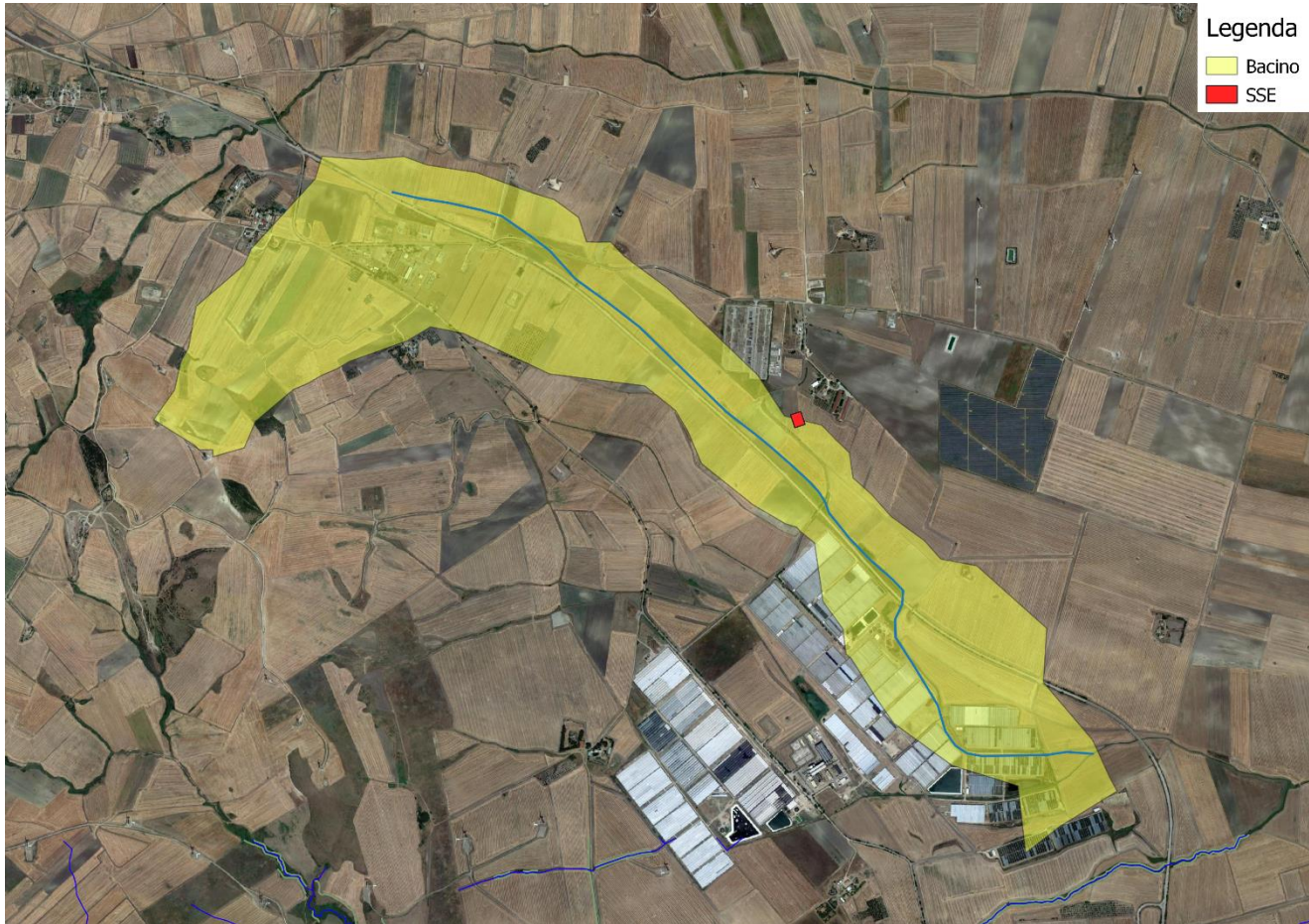
19	20	21	22	23
1+900.00	0+950.00	1+000.00	1+050.00	1+100.00
500.14	499.13	497.13	495.81	496.63
500.27	499.04	497.21	495.94	496.55

## 9 VERIFICA CONDIZIONI DI SICUREZZA IDRAULICA PER LA NUOVA SOTTOSTAZIONE ELETTRICA UTENTE

Per quanto riguarda la realizzazione della nuova SSE, sono state verificate le condizioni di sicurezza idraulica, così come definite dall'art. 36 delle NTA del PAI:

*“condizione associata alla pericolosità idraulica per fenomeni di insufficienza del reticolo di drenaggio e generalmente legata alla non inondabilità per eventi di assegnata frequenza. Agli effetti del PAI si intendono in sicurezza idraulica le aree non inondate per eventi con tempo di ritorno fino a 200 anni;”*

Lo studio è stato condotto individuando in primo luogo il bacino idrografico prossimo alla sottostazione, e ristretta l'area di esame al solo bacino si è proceduto, come per gli altri canali, all'utilizzo del metodo VAPI per la stima delle portate.



Bacino idrografico

Di seguito si riporta il calcolo del tempo di ritardo, preliminare al calcolo dell'altezza di pioggia critica:

<i><b>bacino</b></i>	<i><b>area</b></i>	<i><b>t</b></i>
1	3.17	0.61

Conoscendo il valore del tempo di ritardo è possibile determinare il valore  $h$  dell'altezza di pioggia, ed applicando a quest'ultima i coefficienti relativi al fattore probabilistico di crescita  $K_t$  pari a 1.98 per  $Tr = 30$  anni, a 2.77 per  $Tr = 200$  anni e pari a 3.15 per  $Tr = 500$  anni.

<b>Bacino</b>	<b>h</b>	<b><math>K_t(Tr=30)</math></b>	<b>h30</b>	<b><math>K_t(Tr=200)</math></b>	<b>h200</b>	<b><math>K_t(Tr=500)</math></b>	<b>h500</b>
1	19.33	1.98	38.26	2.77	53.53	3.15	60.88

Definito il parametro del CN III ( $CN\ III = CN\ II/0.43 + 0.0057 \cdot CN\ II$ ) è possibile determinare il valore di altezza di pioggia netta  $P_n$ , mediante la seguente relazione:

$$P_n = \frac{(P - 0.2 S)^2}{P + 0.8 S} \text{ in mm}$$

con  $S = 254 \cdot (100/CN - 1)$  che rappresenta il massimo volume di invaso al suolo, in funzione del CN e P è l'altezza di pioggia totale, precedentemente calcolata con il metodo VaPi Piogge, in corrispondenza di un evento con assegnato tempo di ritorno.

BACINO	CN II MEDIO	CN III	S	P30	PN30	P200	PN200	P500	PN500
1	80.49	90.56	26.47	38.26	18.29	53.53	31.14	60.88	37.65

Secondo il metodo SCS, il tempo di ritardo del bacino idrografico viene calcolato con la formula di Mockus, per cui:

$$t_r = 0.342 \cdot (L^{0.8}/s^{0.5}) \cdot (1000/CN - 9)^{0.7}, \text{ dove}$$

s: pendenza media del bacino espressa in %

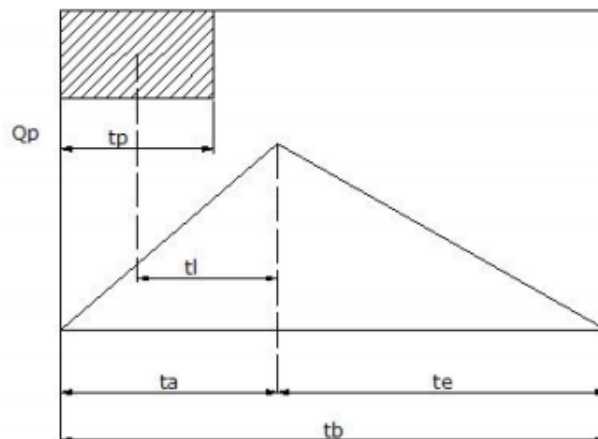
L: lunghezza dell'asta principale estesa sino allo spartiacque espressa in Km.

Il passaggio dal tempo di ritardo al tempo di corrivazione del bacino avviene attraverso la seguente formula:

$$t_c = t_r / 0.6.$$

Per il calcolo della portata al colmo si considera un diagramma di piena triangolare "Idrogramma di Mockus", che ha una fase crescente di durata  $t_a$  (tempo di accumulo) e una fase di esaurimento di durata  $t_e$  (tempo di esaurimento).


Il tempo di accumulo è pari a  $t_a = 0.5 t_c + t_r$



L'area sottesa da tale triangolo definisce la portata al colmo di piena, che, pertanto, assume la formulazione seguente:

$$Q_p = 0,208 (P_n \cdot A) / t_a$$

L'ascissa e l'ordinata del picco dell'onda di piena rappresentano, rispettivamente, il tempo di risposta del bacino e la portata al colmo.

	Progetto per la costruzione di un impianto di produzione di energia elettrica da fonte eolica di 19 aerogeneratori con potenza di 115 MW e opere di connessione alla RTN, sito nel comune di Rocchetta Sant'Antonio e Candela (FG)	Settembre 2020
--	--	----------------

River	Basin	L	s	tl	tp	ta	A	Pn30	Q (Tr=30)	Pn200	Q (Tr=200)	Pn500	Q (Tr=500)
1	1.00	4.40	2.60	1.14	1.91	2.10	3.00	38.26	11.39	31.14	9.27	37.65	11.20

Al fine di aumentare il criterio di sicurezza e per conferire al modello idraulico la giusta rappresentatività nelle condizioni più gravose, si è assunto di applicare le portate di piena calcolate nello studio idrologico, riferite alla sezione di chiusura del bacino.

Dapprima è stato generato il TIN (Triangulated Irregular Network) a partire dal DTM (Digital Terrain Model), in seguito sono stati tracciati lo stream (river) e i cigli del corso d'acqua (banks), i flowpath che rappresentano il dominio in cui studiare la propagazione della piena e, infine, sono state generate le sezioni trasversali di studio (cut section).

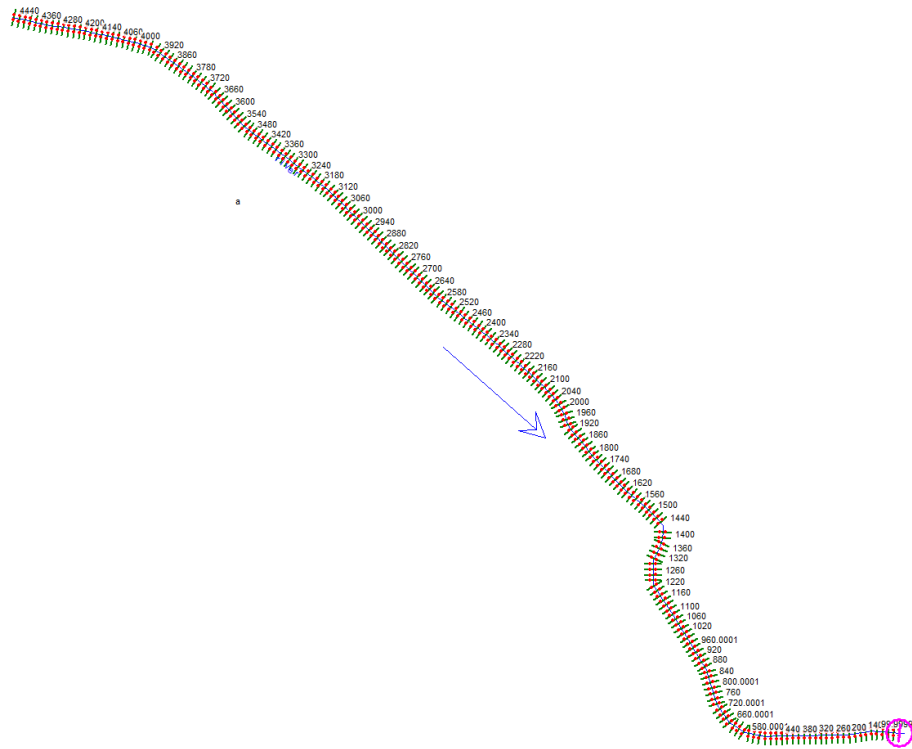
Per lo studio idraulico si è utilizzato il software HEC-RAS, attraverso il quale, inserendo i dati geometrici dell'alveo e i dati idrologici sulla portata (condizioni al contorno), è possibile modellare la propagazione di una corrente lungo un corso d'acqua in condizioni sia di moto permanente che di moto vario, utilizzando uno schema di moto monodimensionale o bidimensionale.

La schematizzazione più utilizzata è quella monodimensionale, la quale offre risultati soddisfacenti quando la componente principale di moto è lungo una direzione prevalente. Risulta ragionevole considerare una direzione prevalente di deflusso delle acque e, quindi, utilizzare uno schema di moto monodimensionale per la modellazione idraulica. Per poter risolvere correttamente le equazioni di moto occorre disporre delle condizioni di monte e di valle che regolano il deflusso della corrente. A tale proposito occorre ricordare che una corrente lenta è influenzata dalle condizioni di monte mentre una corrente veloce è influenzata unicamente dalle condizioni di valle; se infine si tratta di una corrente mista allora sarà influenzata sia dalle condizioni al contorno a monte che a valle. Stabilita la portata defluente in una determinata sezione dell'asta fluviale per un determinato tempo di ritorno, si procede alla determinazione del profilo liquido al fine di valutare l'effettiva area allagabile per un evento con  $T_r$  pari a 200 anni (profilo di studio). In base alle verifiche svolte, la naturale larghezza dell'impluvio consente di smaltire le portate senza rilevante pericolo per la sottostazione.

Di seguito si riportano i risultati relativi al bacino di studio:




### GEOMETRIA DEL CANALE:



### AREA INONDABILE:



	Progetto per la costruzione di un impianto di produzione di energia elettrica da fonte eolica di 19 aerogeneratori con potenza di 115 MW e opere di connessione alla RTN, sito nel comune di Rocchetta Sant'Antonio e Candela (FG)	Settembre 2020
--	--	----------------

## 10 CONCLUSIONI

Lo studio idrologico ed idraulico, svolto nel presente lavoro, è stato articolato in più fasi caratterizzate dalle seguenti operazioni:

1. Analisi morfologica, consistente nell'acquisizione delle caratteristiche morfometriche e morfologiche dei bacini idrografici di studio;
2. Analisi idrologica, consistente nell'elaborazione dei dati pluviometrici e idrometrici, al fine di definire la portata al colmo di piena per un periodo di ritorno pari a 200 anni, in riferimento alla procedura VaPi Puglia e Basilicata, per le sezioni di interesse lungo i corsi d'acqua;
3. Analisi idraulica (modello di calcolo), consistente nel valutare la capacità di smaltimento delle singole sezioni o dei tratti del corso d'acqua mediante l'utilizzo di un modello di calcolo del profilo idraulico in condizioni di moto monodimensionale e permanente;
4. Perimetrazione delle aree allagabili e loro rappresentazione cartografica. L'area allagabile risulta essere contenuta in fasce circoscritte tanto da non interessare il perimetro dell'aree dei campi fotovoltaici in progetto della sottostazione utente.
5. Analisi delle interferenze del reticolo idrografico con le nuove piste a servizio degli aerogeneratori.

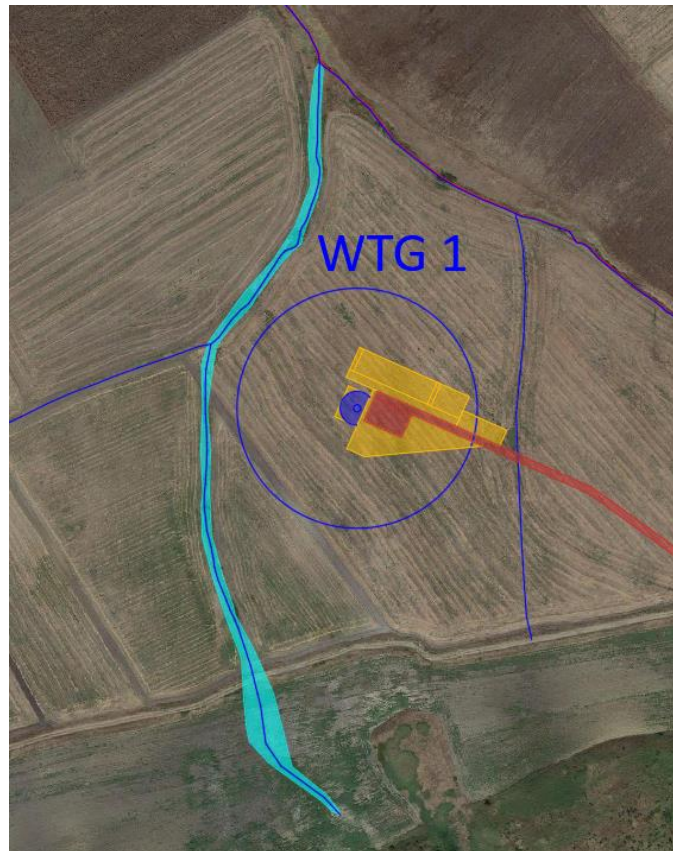
BACINO 1 – RIVER 1



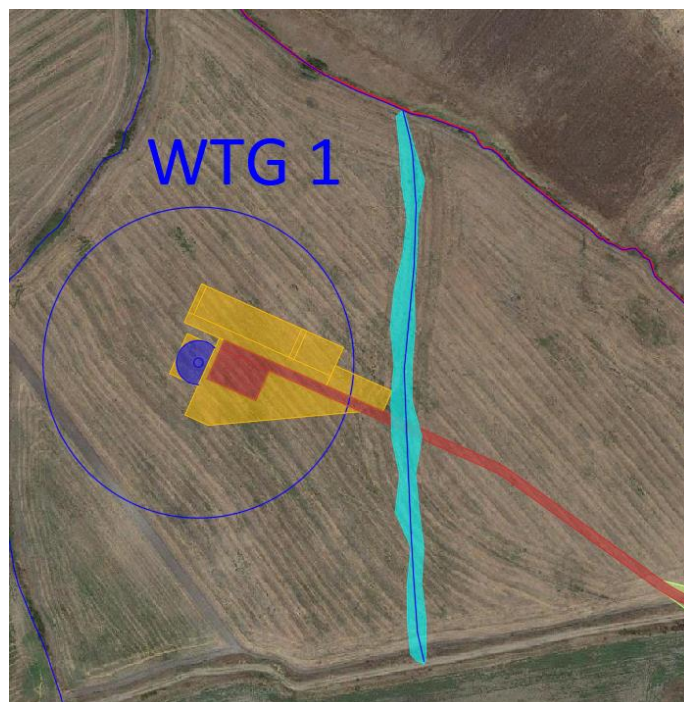




BACINO 2 – RIVER 2



BACINO 3 – RIVER 3





BACINO 4 – RIVER 4



BACINO 5 – RIVER 5

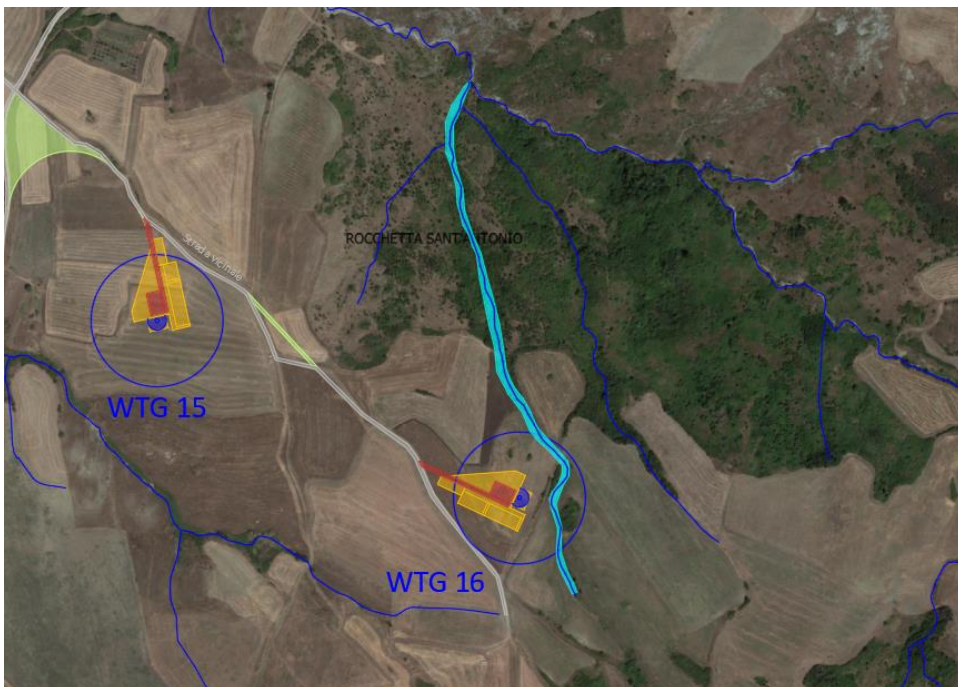




BACINO 6 – RIVER 6



BACINO 7 – RIVER 7

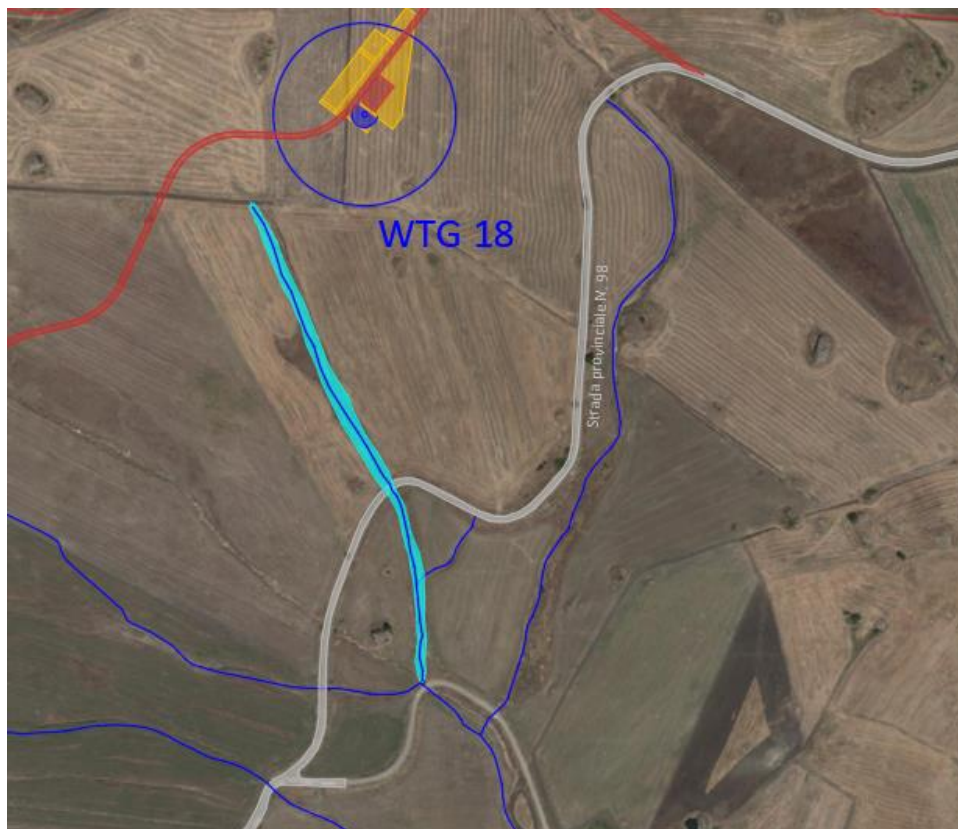




BACINO 8 – RIVER 8



BACINO 9 – RIVER 9

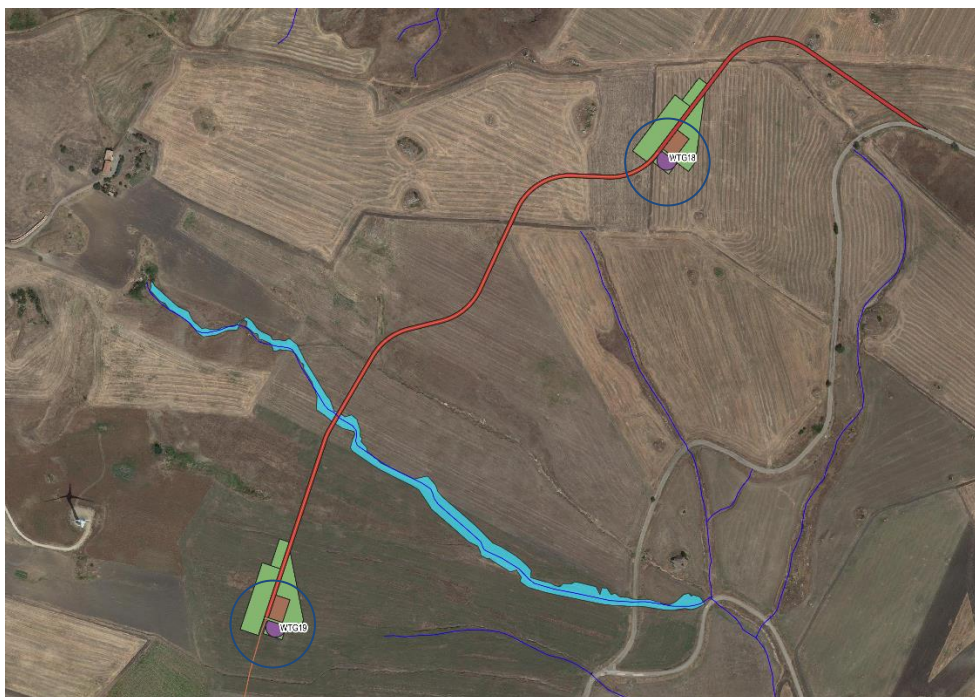





BACINO 10 – RIVER 10



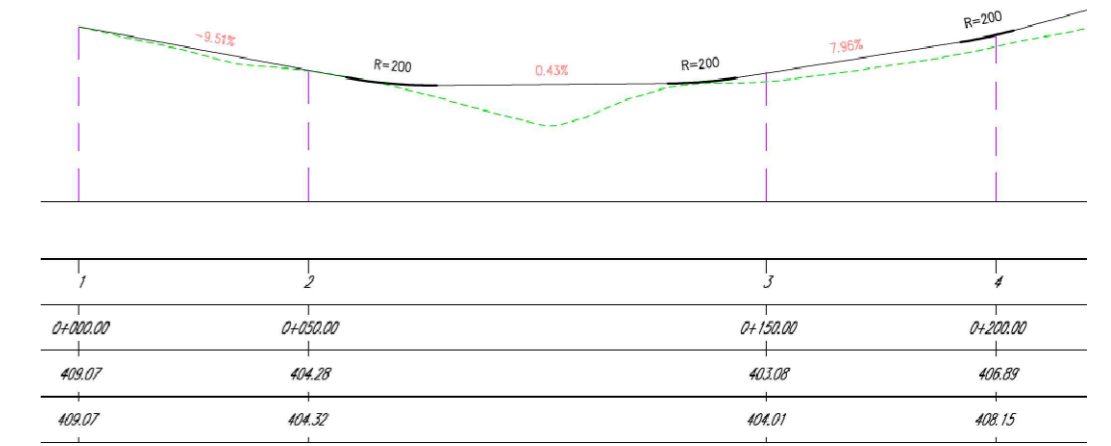
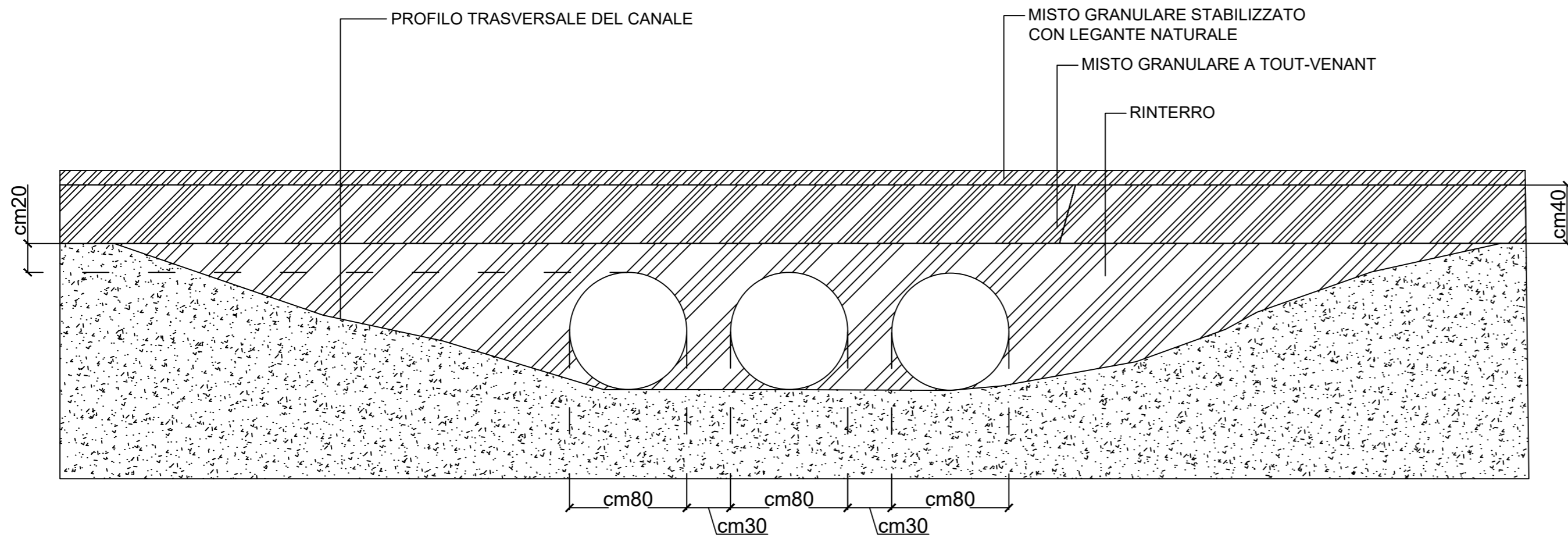
BACINO 11 – RIVER 11



 <p><b>SINERGIA</b> Energy Green Power</p>	<p>Progetto per la costruzione di un impianto di produzione di energia elettrica da fonte eolica di 19 aerogeneratori con potenza di 115 MW e opere di connessione alla RTN, sito nel comune di Rocchetta Sant'Antonio e Candela (FG)</p>	<p>Settembre 2020</p>
--	---	-----------------------

Alla luce delle considerazioni appena svolte, si ritiene che nel complesso per l'intervento proposto sussistano condizioni di sicurezza idraulica, ai sensi delle NTA del PAI Puglia, restando inalterate le condizioni di deflusso naturale sia a monte che a valle dei terreni di interesse.

# SEZIONE STRADALE TIPO (SCALA 1:30)



## INQUADRAMENTO SU ORTOFOTO INTERSEZIONE



COORDINATE INTERSEZIONE WGS 84/ UTM 33 N	
X	Y
541139	4551436

### LEGENDA

- Fondazioni WTG
- Coordinate WTG
- Viabilità SSE
- Viabilità definitiva WTG
- Area\_inondabile
- Reticolo Carta Idrogeomorfologica



**COMUNE DI ROCCHETTA SANT'ANTONIO**  
PROVINCIA DI FOGGIA



**COMUNE DI CANDELA**  
PROVINCIA DI FOGGIA

**Progetto per la costruzione di un impianto di produzione di energia elettrica da fonte eolica di 19 aerogeneratori con potenza di 115 MW e opere di connessione alla RTN, sito nel comune di Rocchetta Sant'Antonio e Candela (FG)**

## PROGETTO DEFINITIVO

**INTERSEZIONI VIABILITA' AEROGENERATORE CON RETICOLO IDROGRAFICO**

COD. ID.				
Livello prog.		Tipo documentazione	N. elaborato	Data
PD		Definitiva	-	03/2021

REVISIONI					
REV.	DATA	DESCRIZIONE	ESEGUITO	VERIFICATO	APPROVATO
00	MARZO 2021	PRIMA EMISSIONE	IMP	FS	FS

COMMITTENTE:



**SINERGIA EWR1 SRL**  
Centro direzionale snc, Is. G1  
80143 Napoli (NA), Italia  
P.IVA 09486531214

PROGETTAZIONE:

**ING. FULVIO SCIA**

Centro Direzionale snc, Is. G1  
80143 Napoli (NA), Italia  
email: ing.scia@gmail.com  
tel: +39 3389055174